

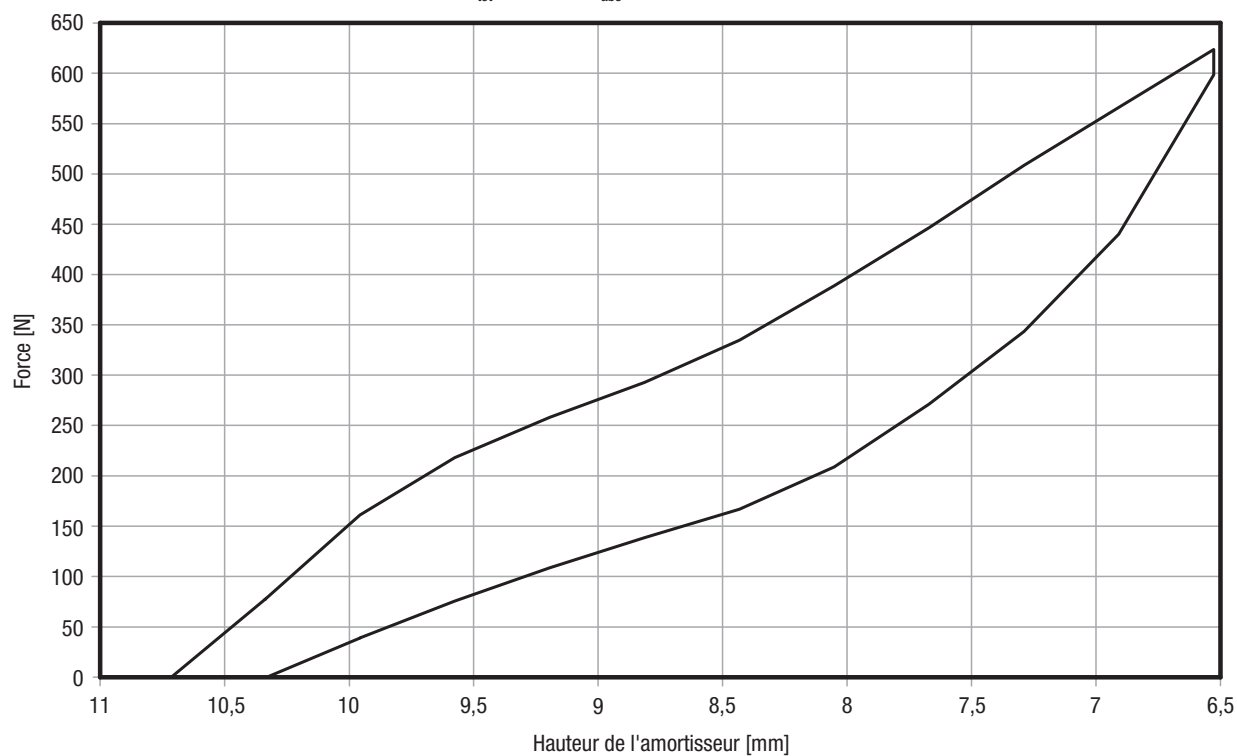
Informations techniques pour les amortisseurs

Courbes caractéristiques pour la charge continue

26180-01205

Courbe caractéristique force - course, statique

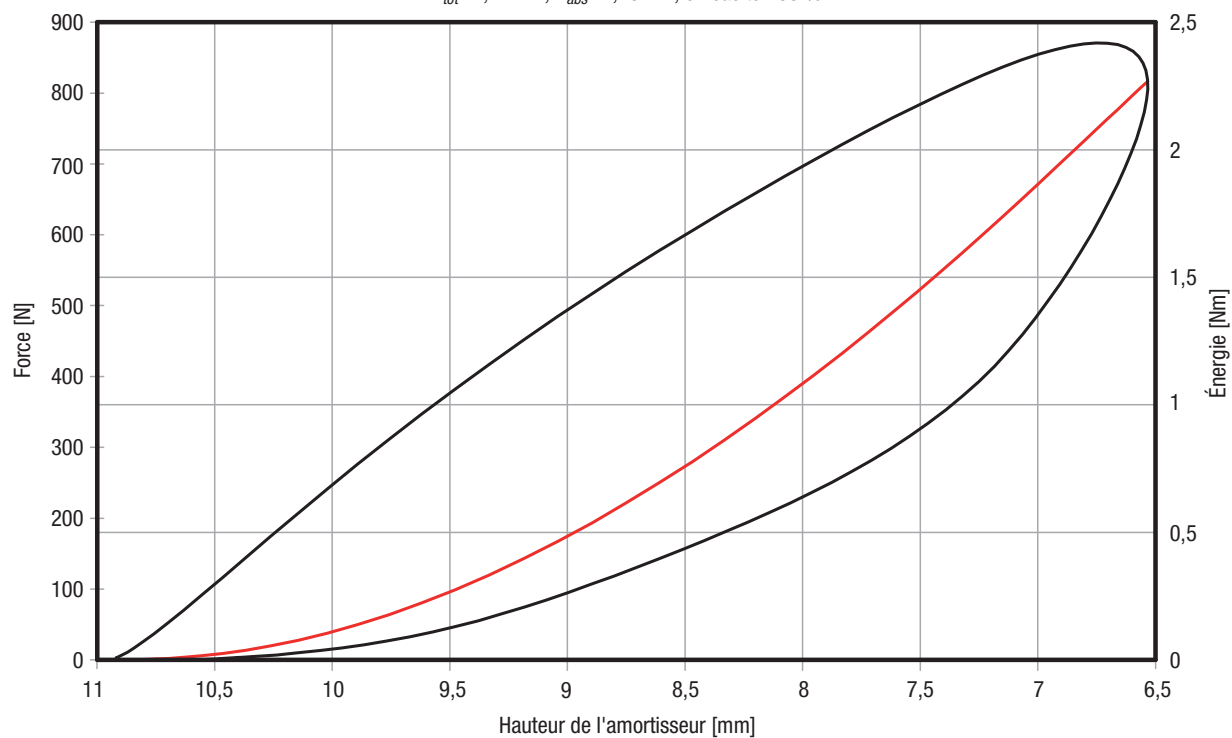
$E_{tot} : 1,36 \text{ Nm}$, $E_{abs} : 0,56 \text{ Nm}$, efficacité : 41 %



26180-01205

Courbe caractéristique force - course, dynamique

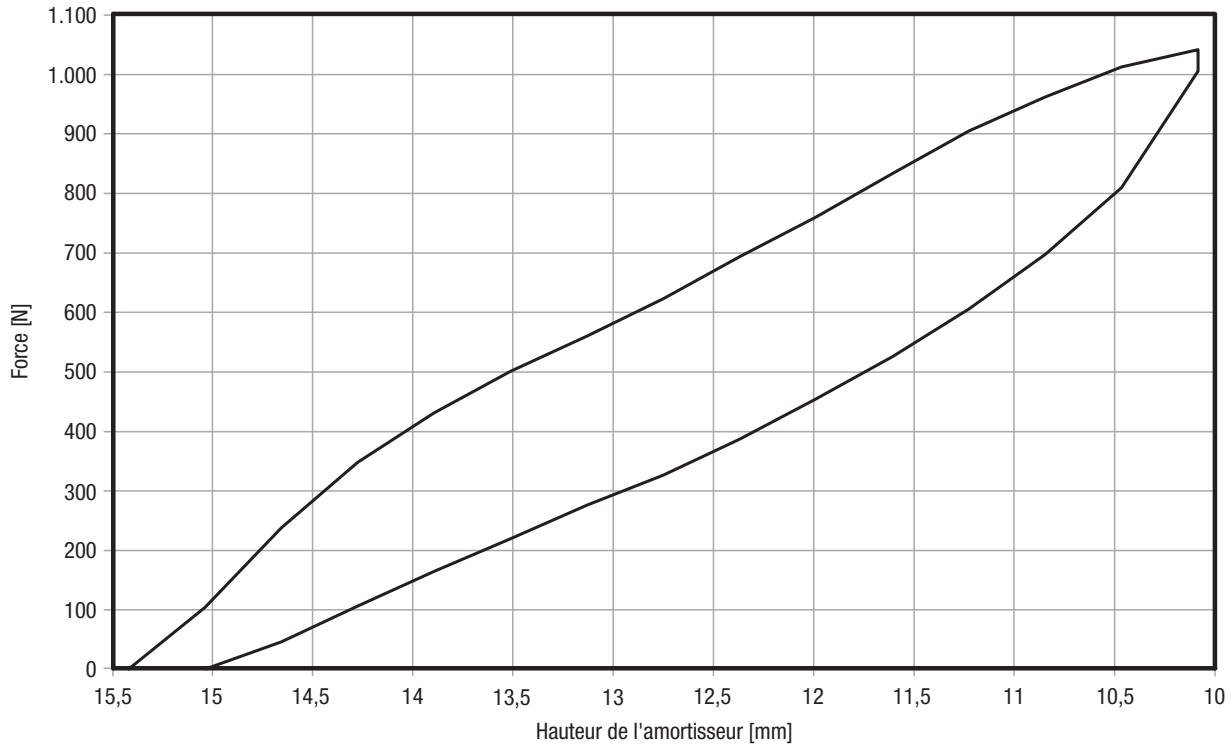
$E_{tot} : 2,27 \text{ Nm}$, $E_{abs} : 1,43 \text{ Nm}$, efficacité : 63 %



26180-01707

Courbe caractéristique force - course, statique

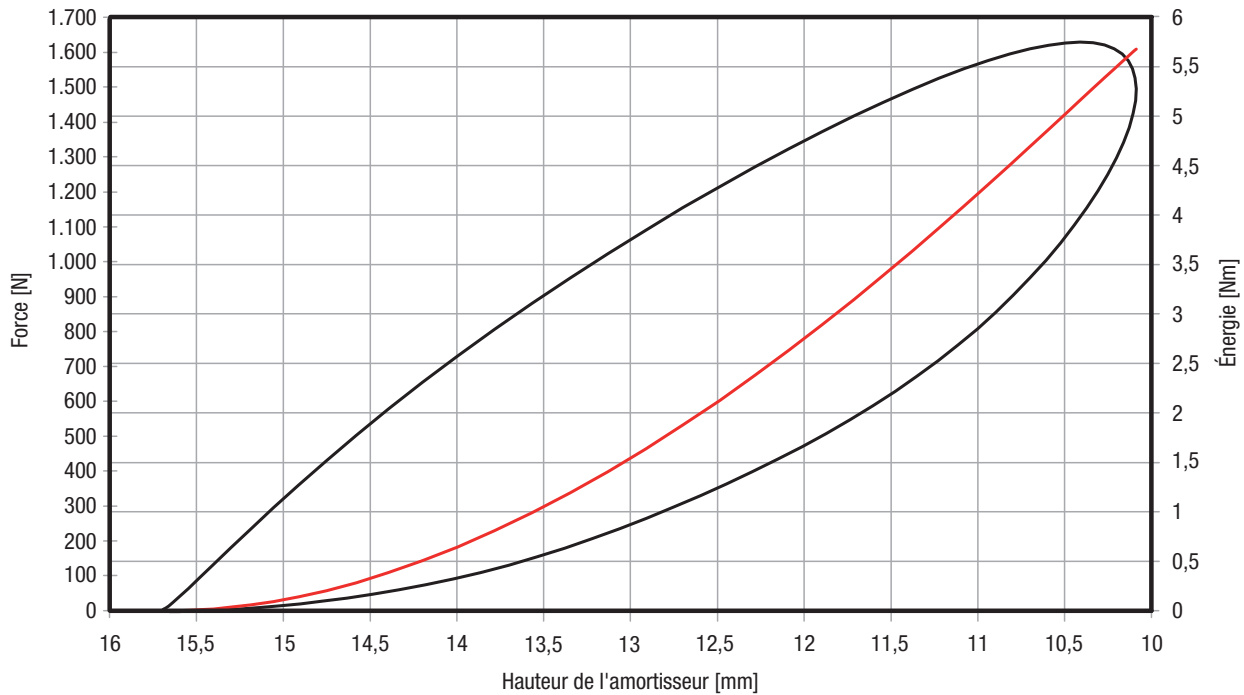
$E_{tot} : 3,2 \text{ Nm}$, $E_{abs} : 1,3 \text{ Nm}$, efficacité : 40 %



26180-01707

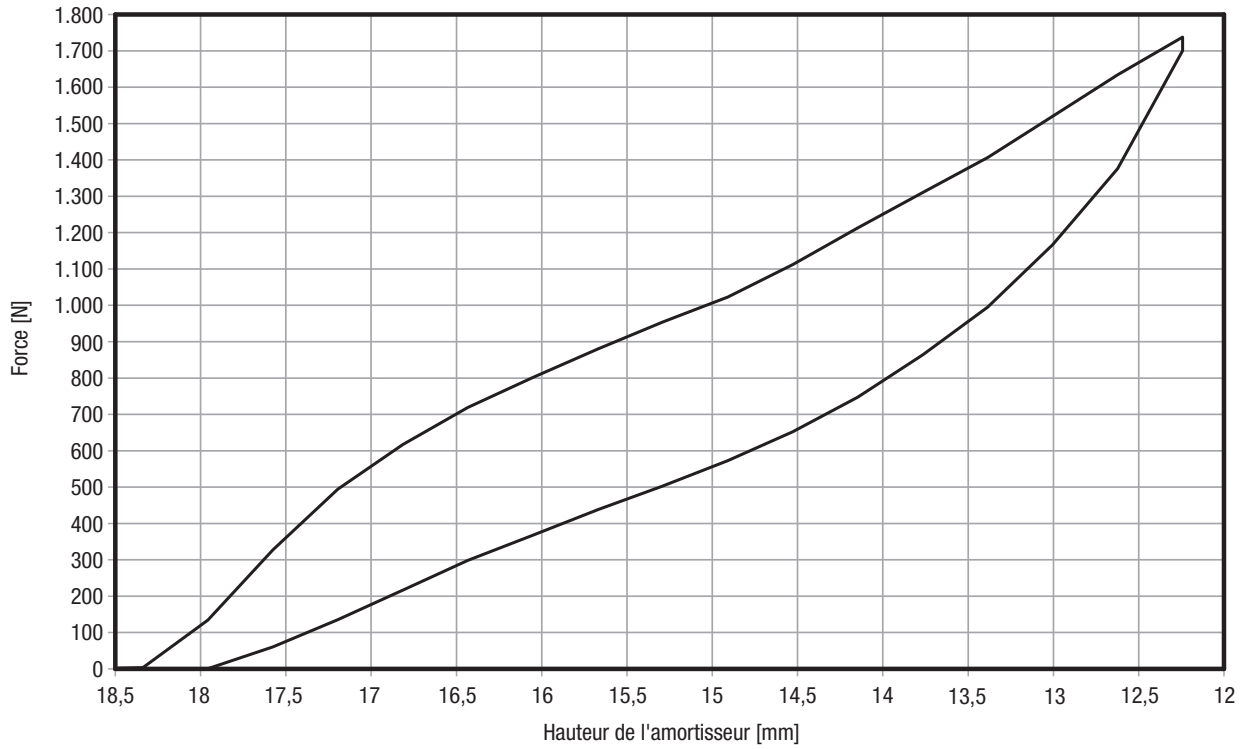
Courbe caractéristique force - course, dynamique

$E_{tot} : 5,7 \text{ Nm}$, $E_{abs} : 3,5 \text{ Nm}$, efficacité : 62 %



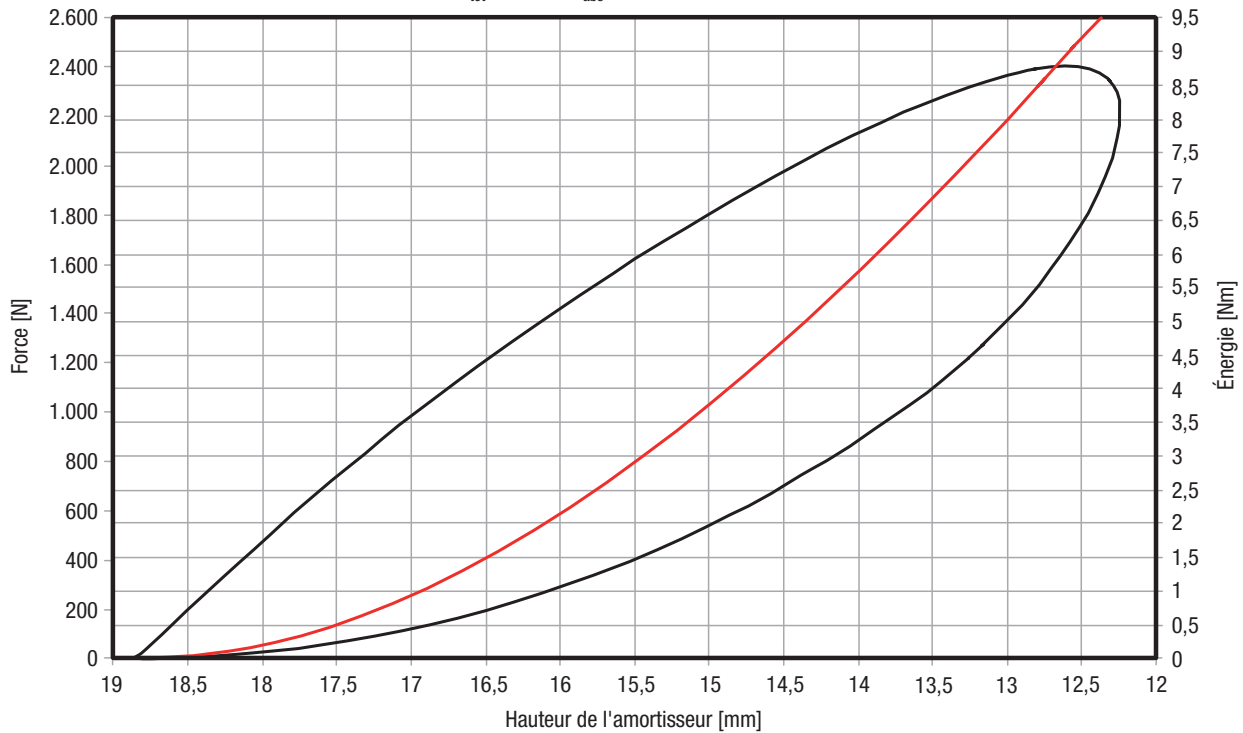
26180-02109

Courbe caractéristique force - course, statique
E_{tot} : 5,7 Nm, E_{abs} : 2,2 Nm, efficacité : 38 %



26180-02109

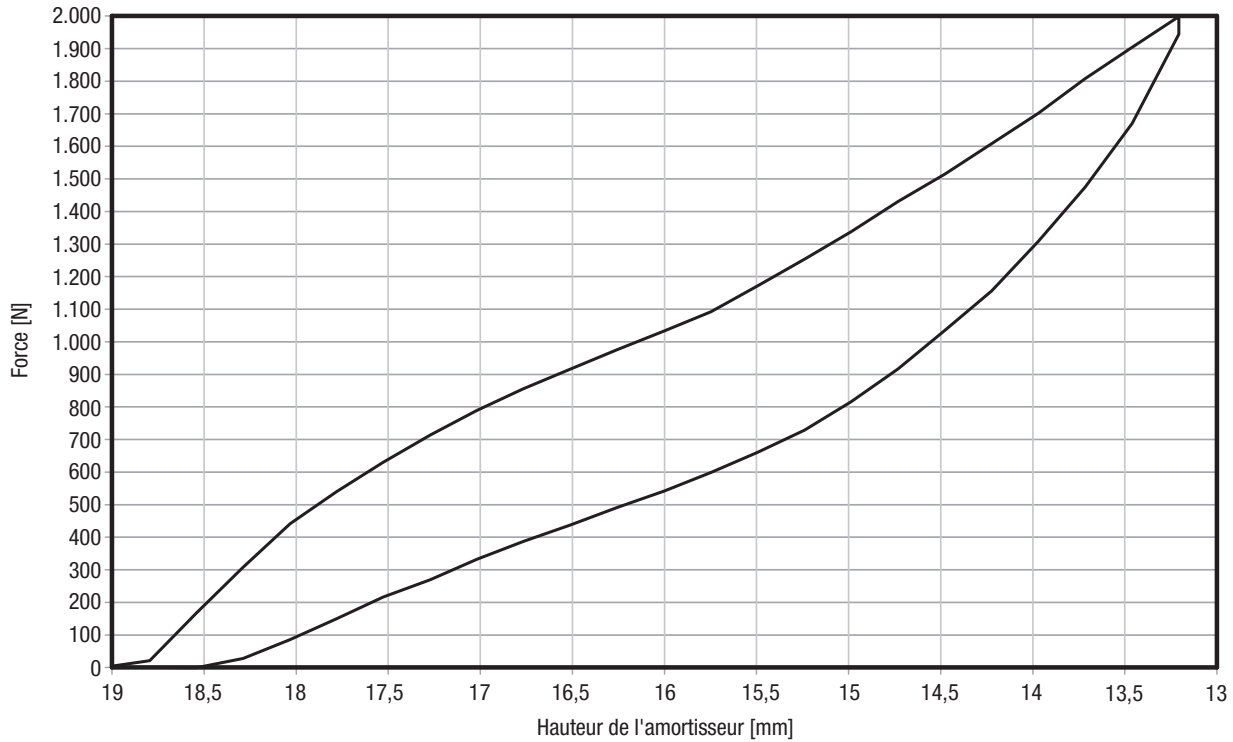
Courbe caractéristique force - course, dynamique
E_{tot} : 9,8 Nm, E_{abs} : 6 Nm, efficacité : 60 %



26180-02210

Courbe caractéristique force - course, statique

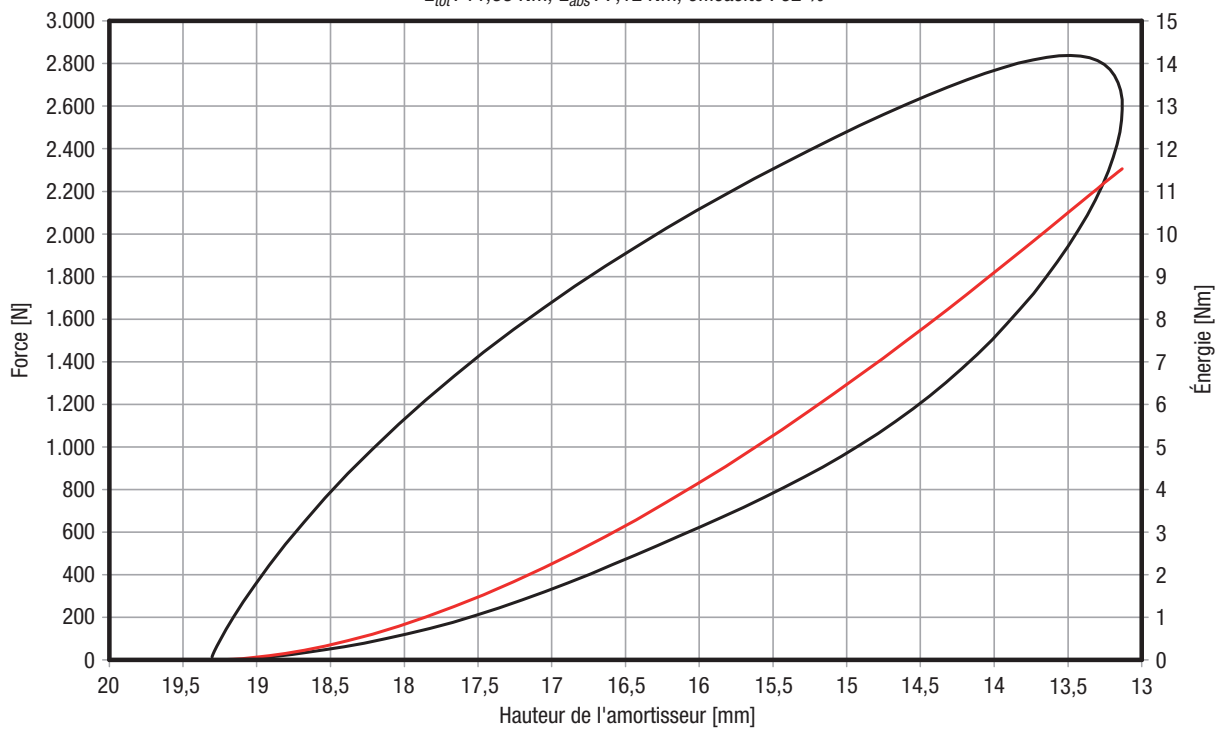
$E_{tot} : 5,9 \text{ Nm}$, $E_{abs} : 2,3 \text{ Nm}$, efficacité : 38 %



26180-02210

Courbe caractéristique force - course, dynamique

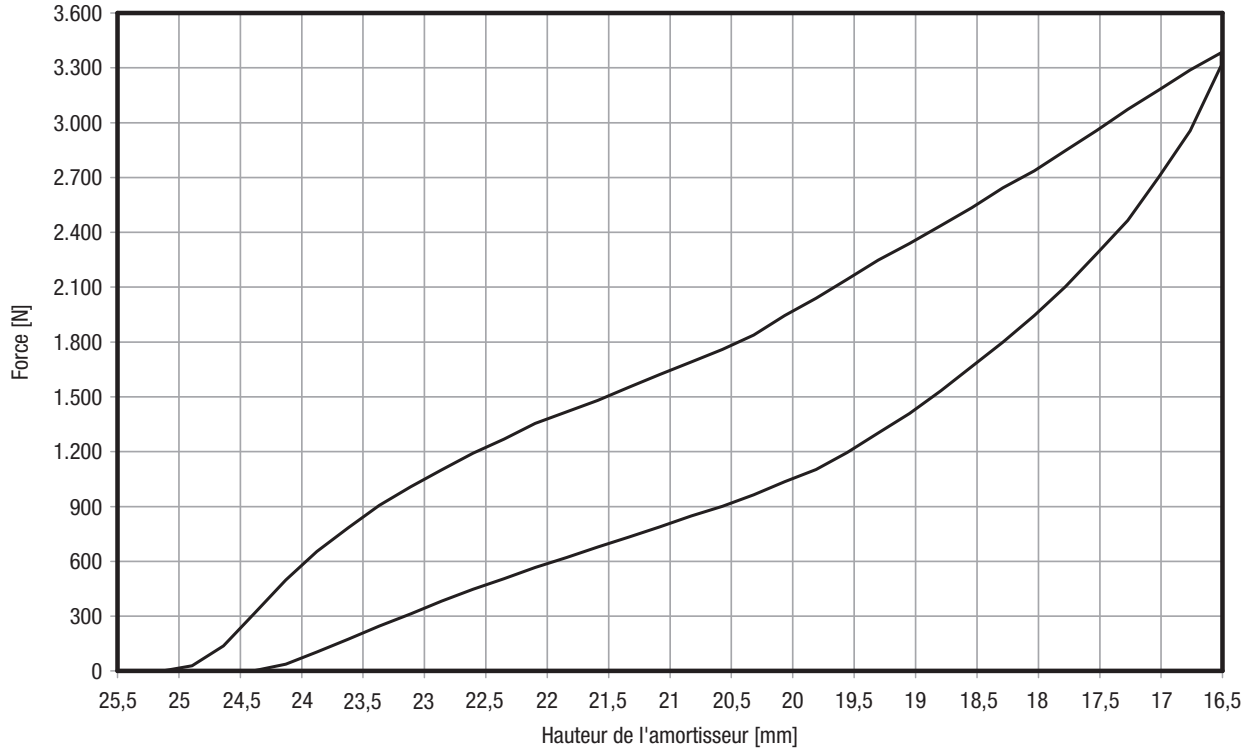
$E_{tot} : 11,53 \text{ Nm}$, $E_{abs} : 7,12 \text{ Nm}$, efficacité : 62 %



26180-02812

Courbe caractéristique force - course, statique

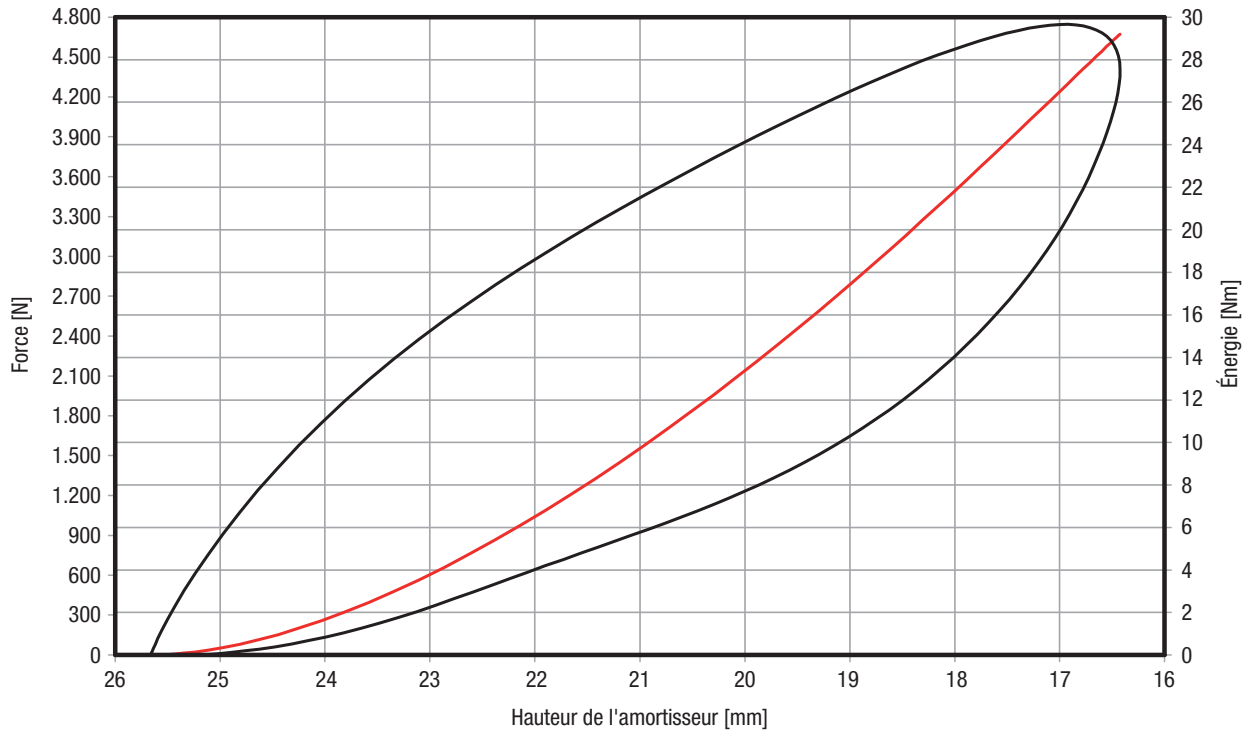
$E_{tot} : 14,9 \text{ Nm}$, $E_{abs} : 5,9 \text{ Nm}$, efficacité : 40 %



26180-02812

Courbe caractéristique force - course, dynamique

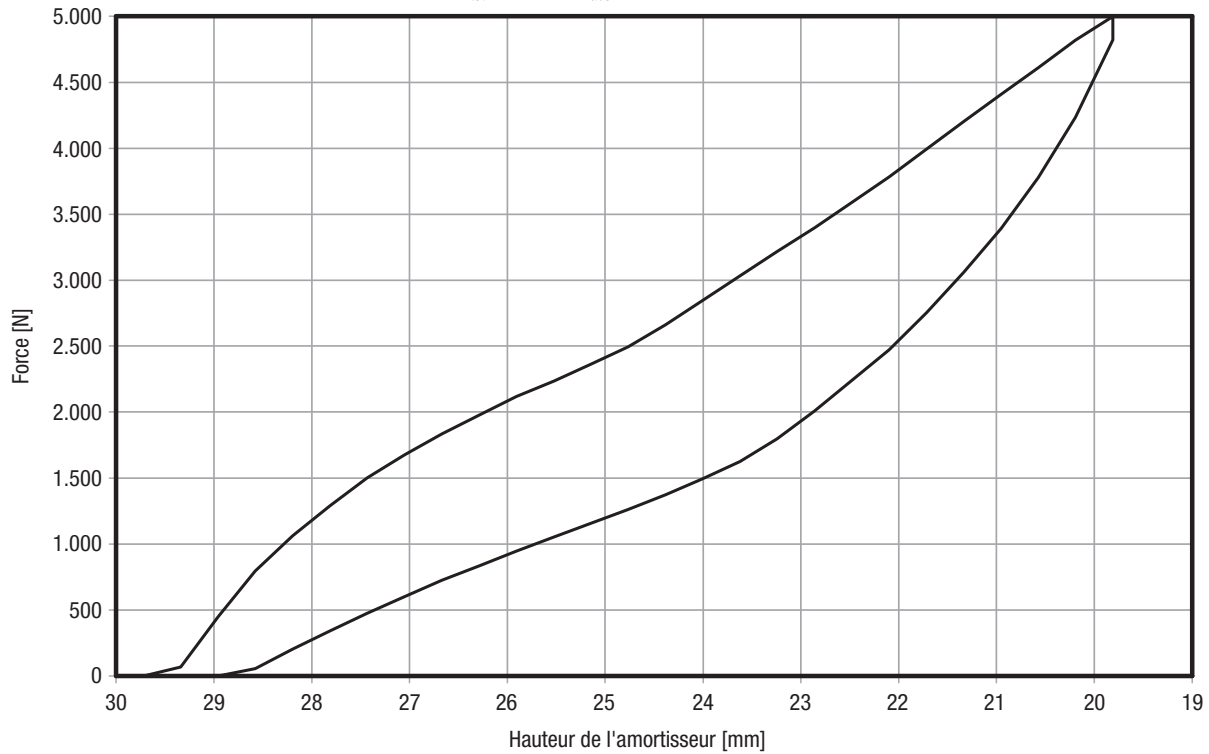
$E_{tot} : 29,2 \text{ Nm}$, $E_{abs} : 18,4 \text{ Nm}$, efficacité : 60 %



26180-03414

Courbe caractéristique force - course, statique

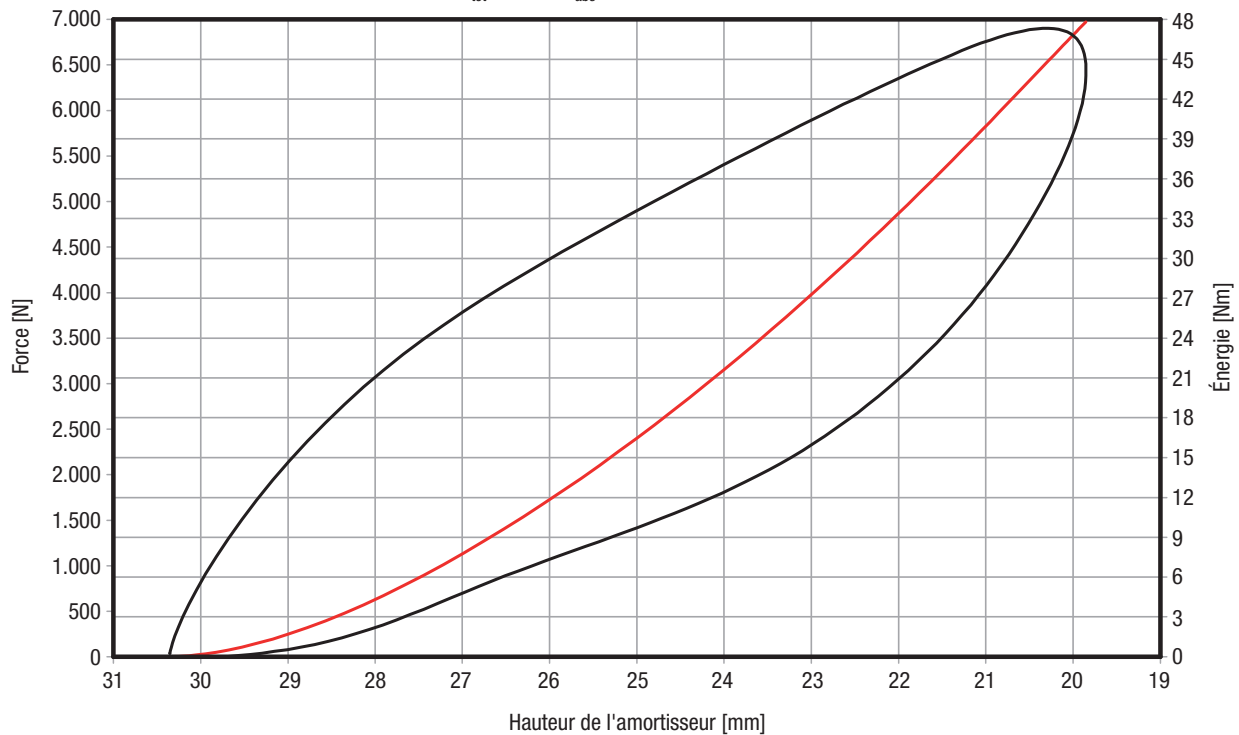
E_{tot} : 25,5 Nm, E_{abs} : 10,2 Nm, efficacité : 40 %



26180-03414

Courbe caractéristique force - course, dynamique

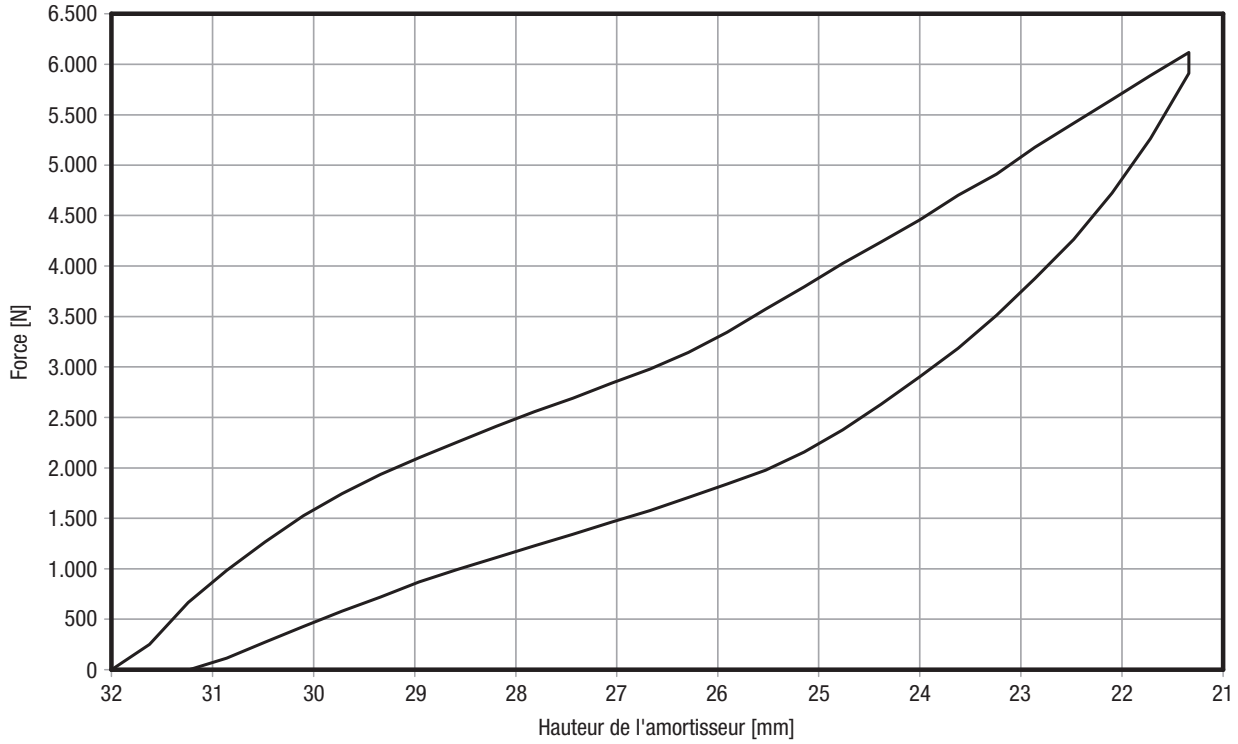
E_{tot} : 48 Nm, E_{abs} : 29 Nm, efficacité : 61 %



26180-03716

Courbe caractéristique force - course, statique

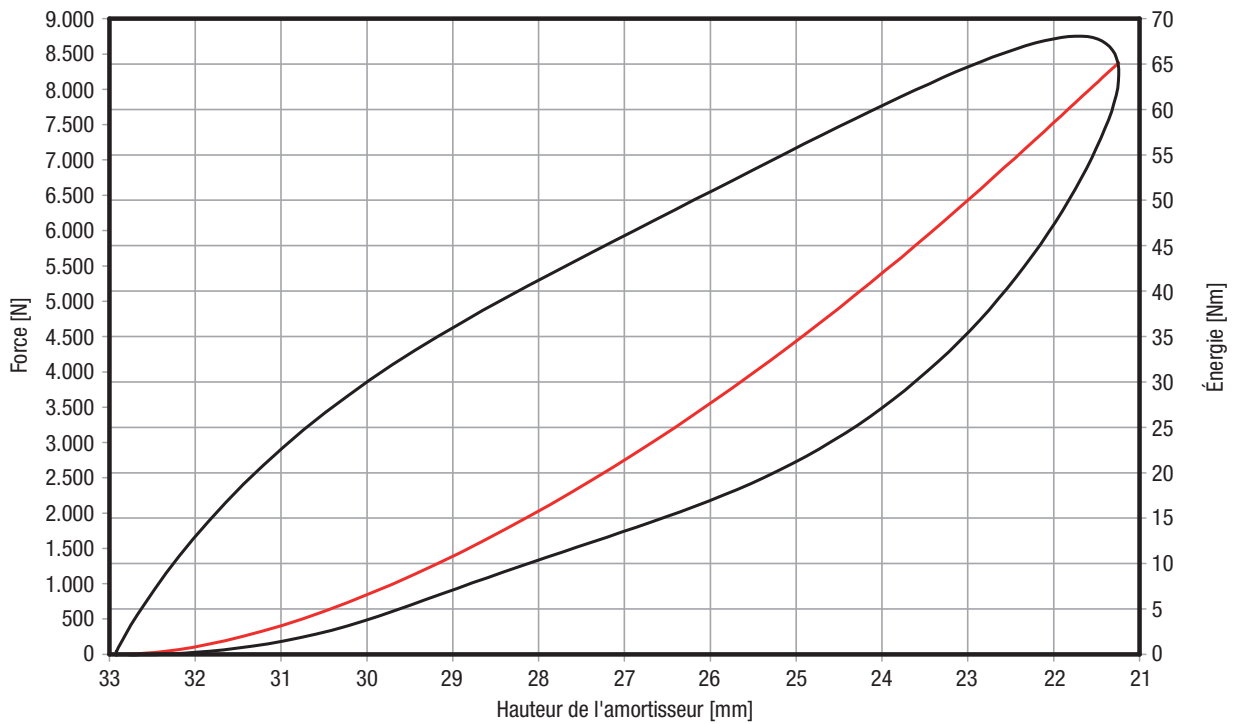
$E_{tot} : 33,4 \text{ Nm}$, $E_{abs} : 12,8 \text{ Nm}$, efficacité : 38 %



26180-03716

Courbe caractéristique force - course, dynamique

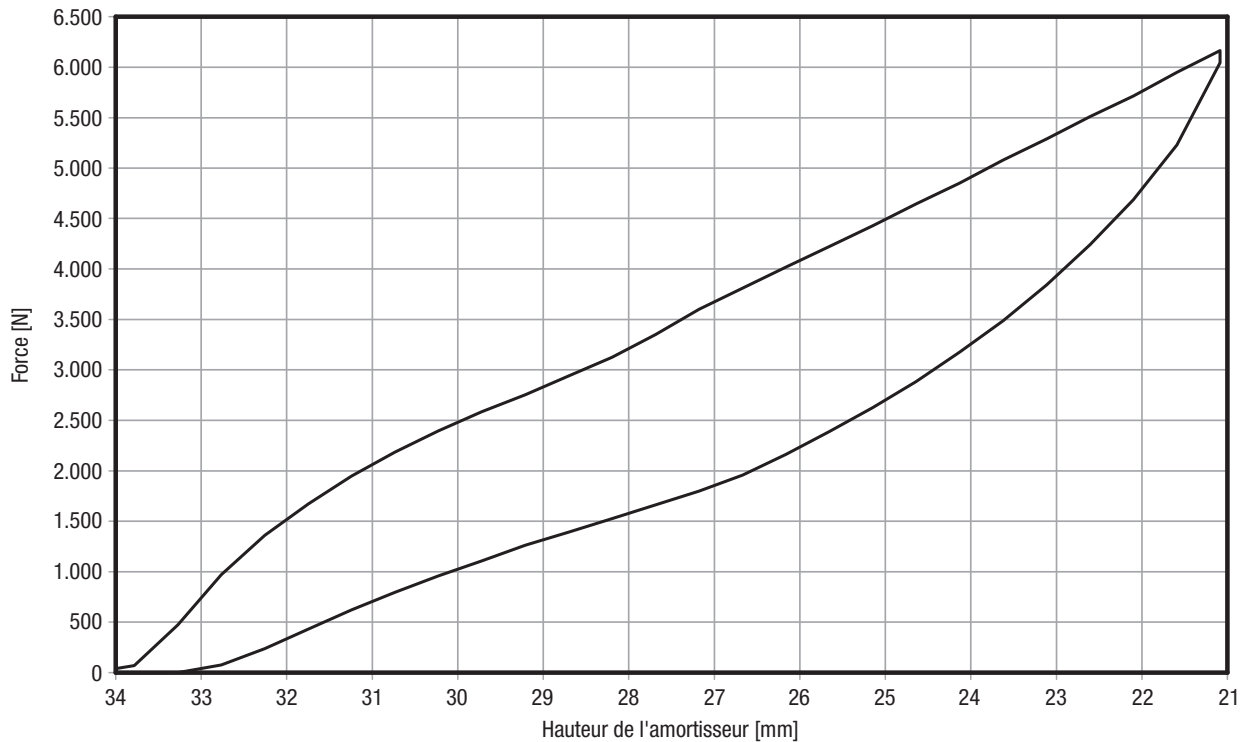
$E_{tot} : 65 \text{ Nm}$, $E_{abs} : 39 \text{ Nm}$, efficacité : 60 %



26180-04016

Courbe caractéristique force - course, statique

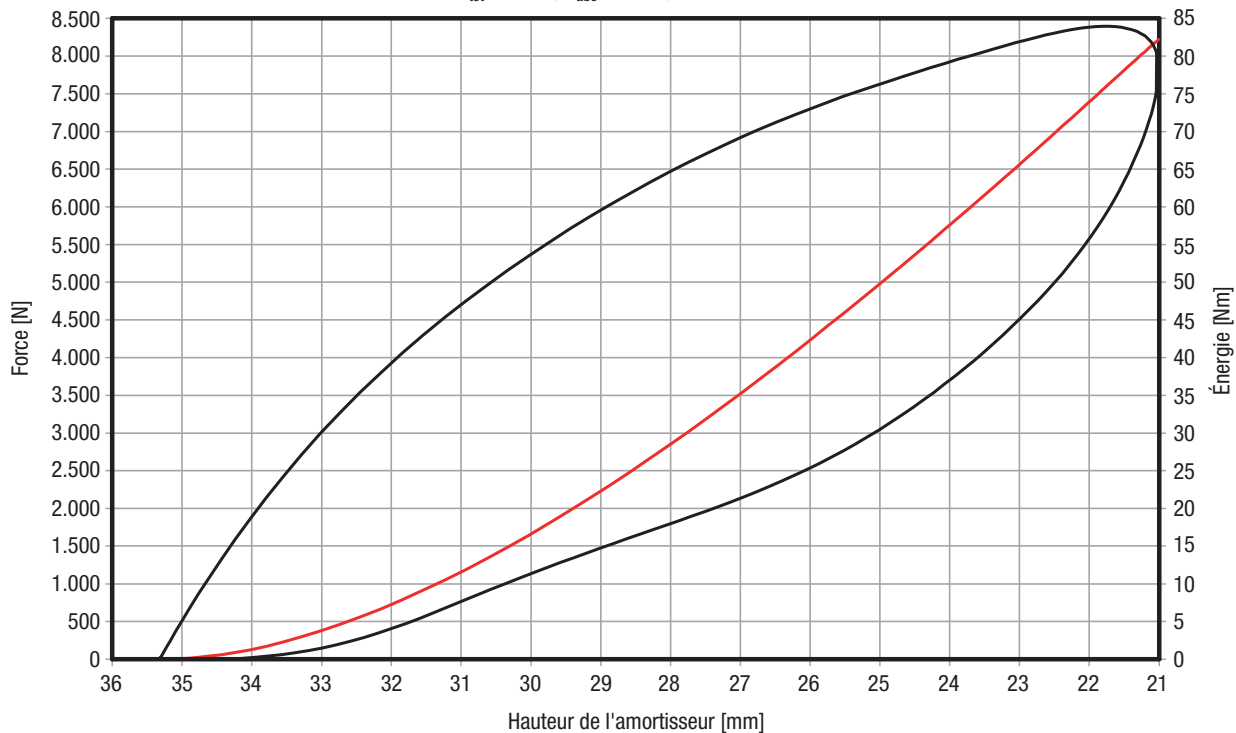
$E_{tot} : 43,7 \text{ Nm}$, $E_{abs} : 17,5 \text{ Nm}$, efficacité : 40 %



26180-04016

Courbe caractéristique force - course, dynamique

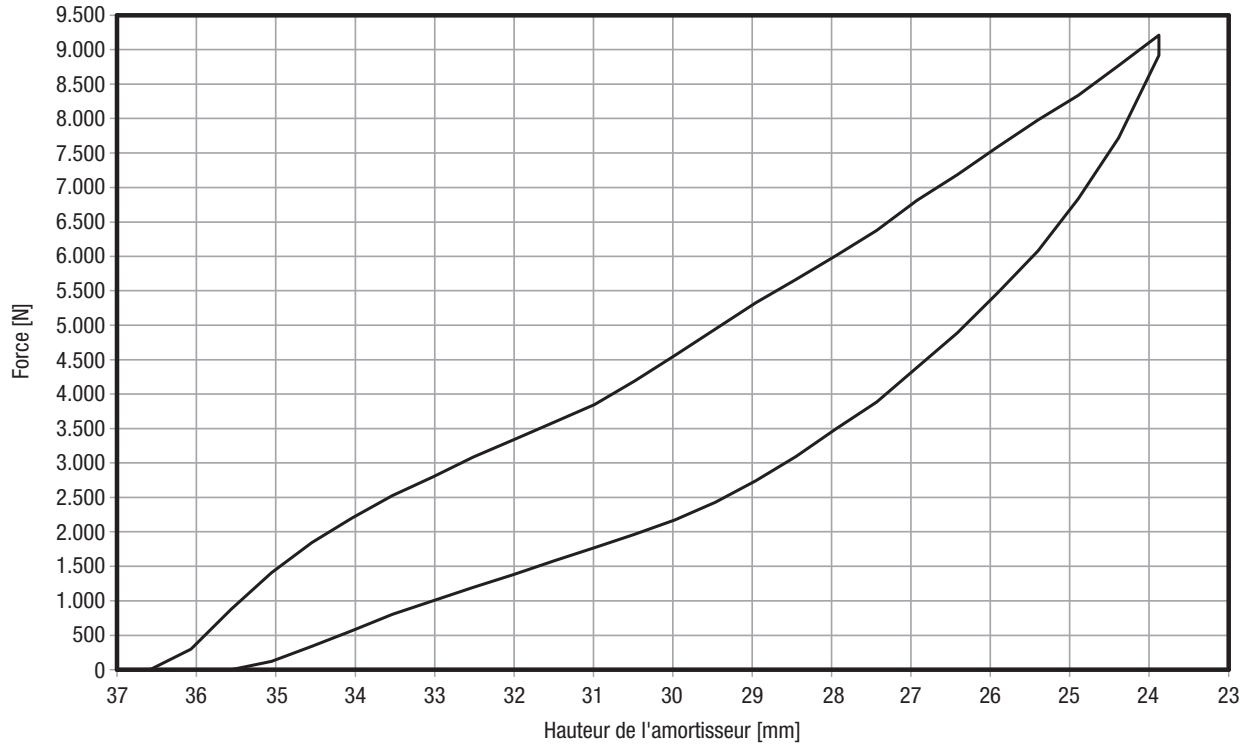
$E_{tot} : 82 \text{ Nm}$, $E_{abs} : 51 \text{ Nm}$, efficacité : 63 %



26180-04318

Courbe caractéristique force - course, statique

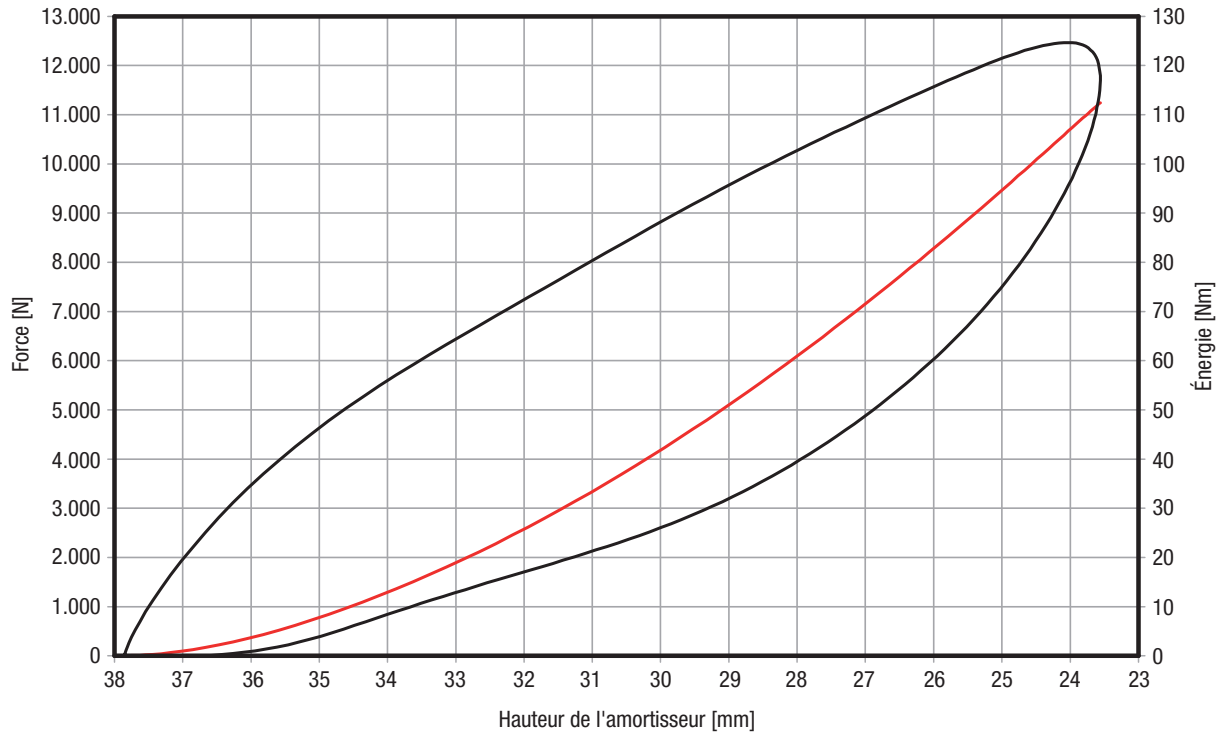
$E_{tot} : 58 \text{ Nm}$, $E_{abs} : 23 \text{ Nm}$, efficacité : 40 %



26180-04318

Courbe caractéristique force - course, dynamique

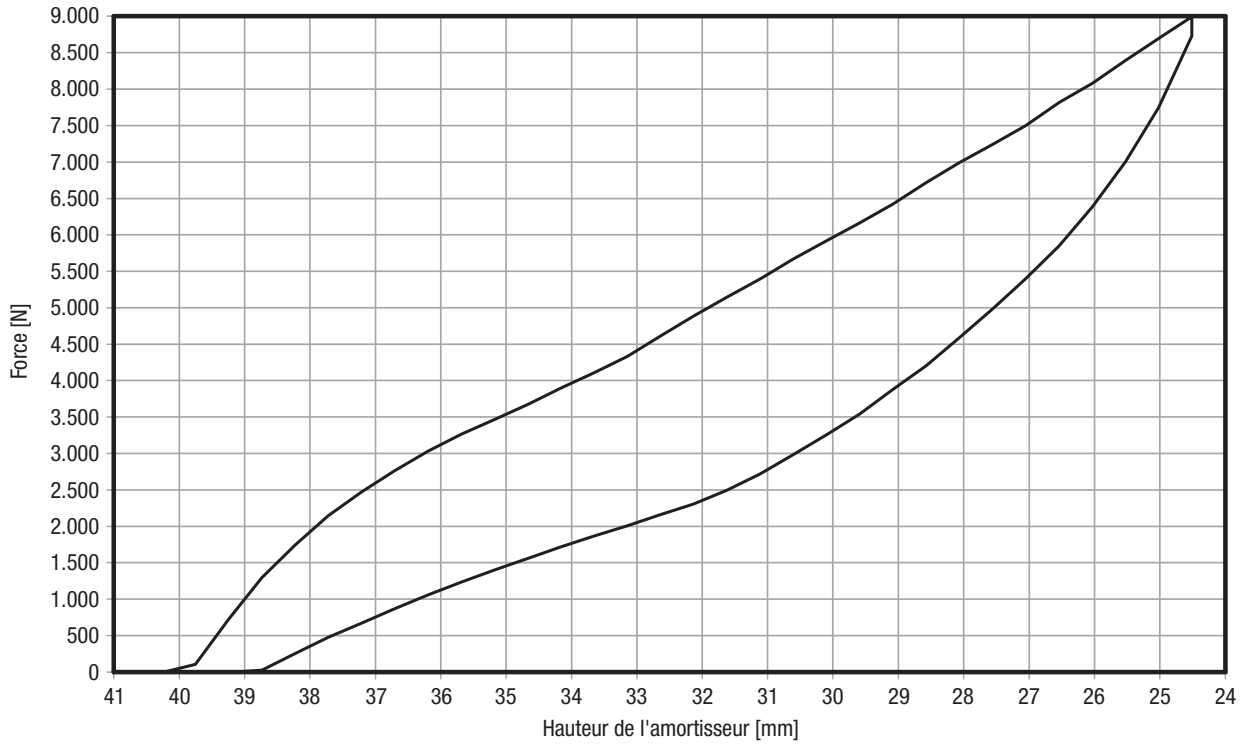
$E_{tot} : 112 \text{ Nm}$, $E_{abs} : 69 \text{ Nm}$, efficacité : 61 %



26180-04720

Courbe caractéristique force - course, statique

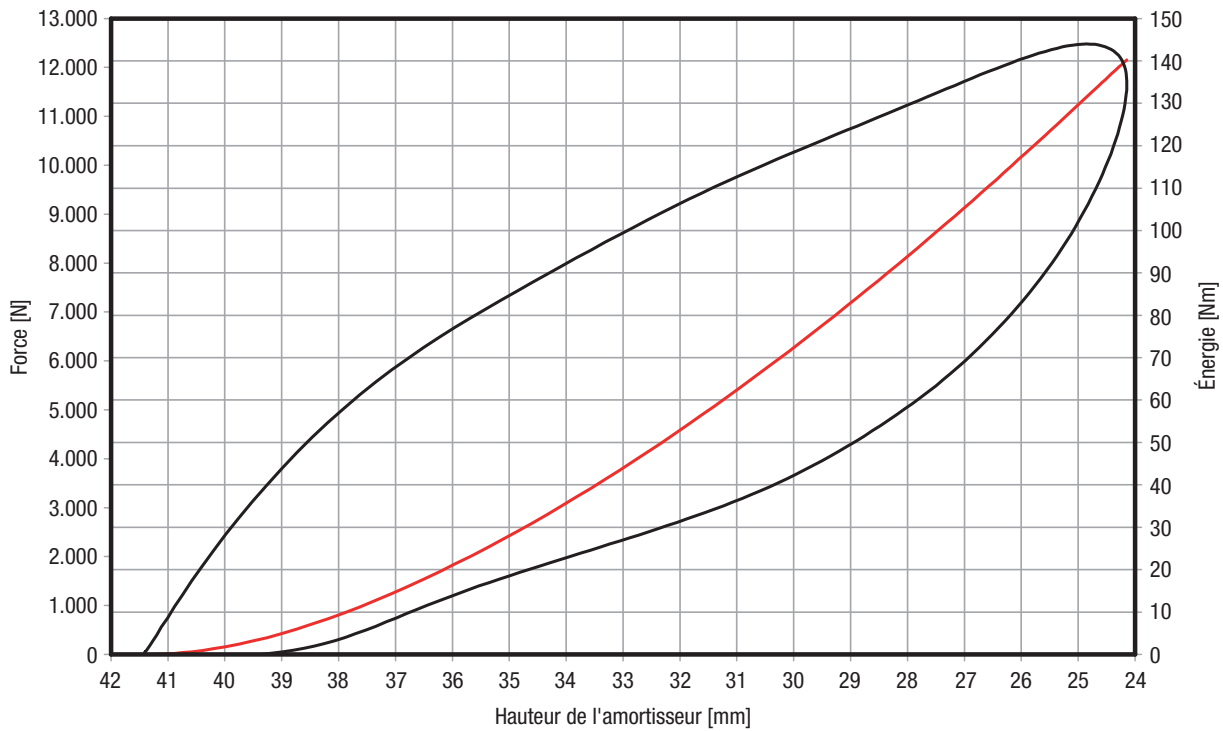
$E_{tot} : 75 \text{ Nm}$, $E_{abs} : 31 \text{ Nm}$, efficacité : 41 %



26180-04720

Courbe caractéristique force - course, dynamique

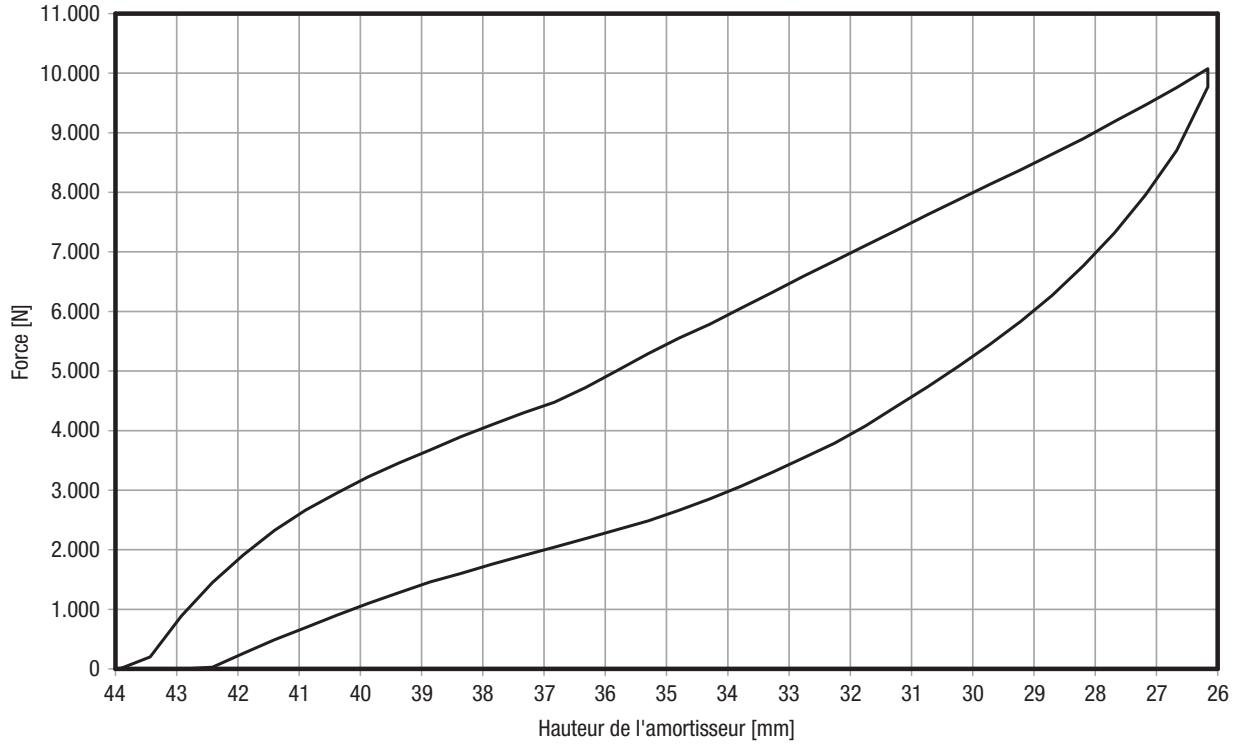
$E_{tot} : 140 \text{ Nm}$, $E_{abs} : 87 \text{ Nm}$, efficacité : 62 %



26180-05022

Courbe caractéristique force - course, statique

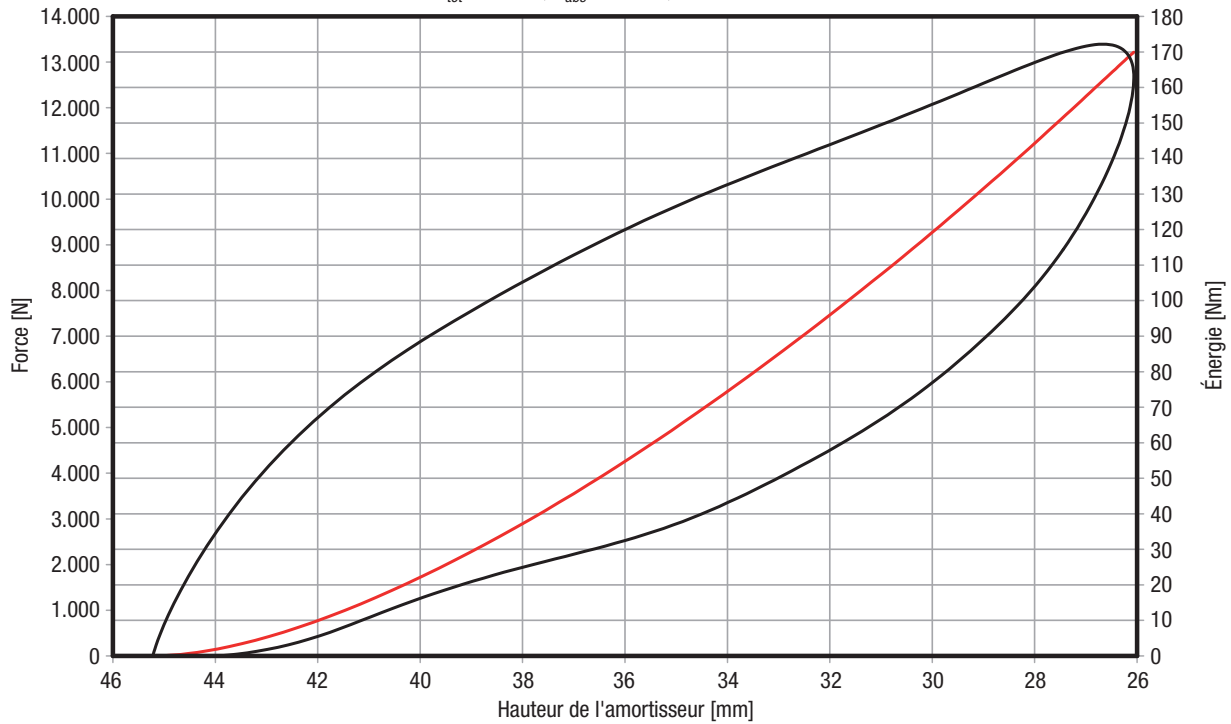
$E_{tot} : 96 \text{ Nm}$, $E_{abs} : 40 \text{ Nm}$, efficacité : 41 %



26180-05022

Courbe caractéristique force - course, dynamique

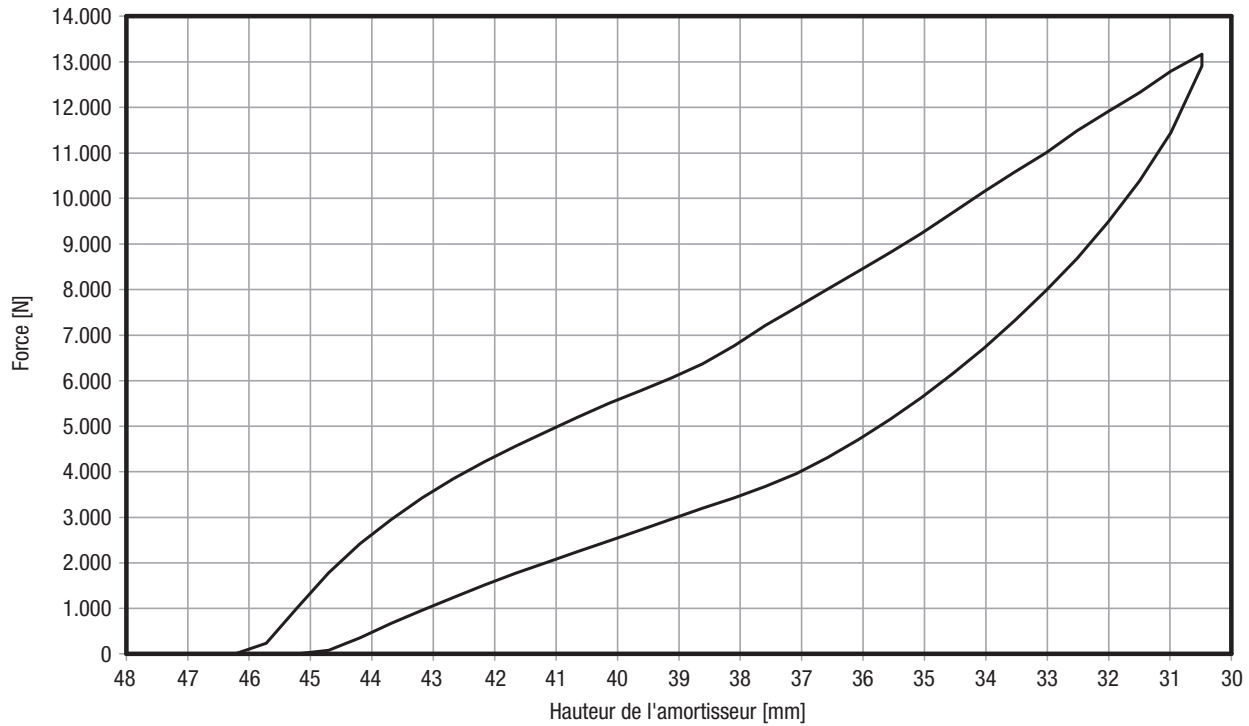
$E_{tot} : 170 \text{ Nm}$, $E_{abs} : 103 \text{ Nm}$, efficacité : 61 %



26180-05422

Courbe caractéristique force - course, statique

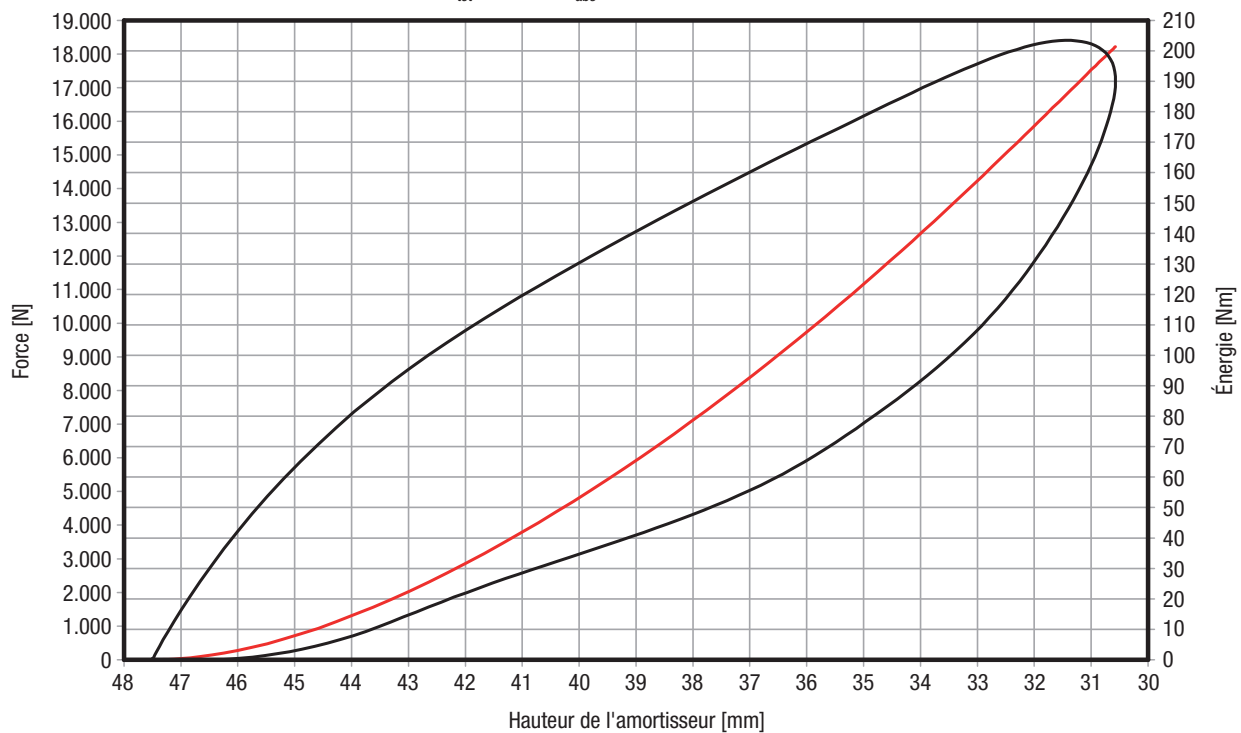
$E_{tot} : 107 \text{ Nm}$, $E_{abs} : 42 \text{ Nm}$, efficacité : 39 %



26180-05422

Courbe caractéristique force - course, dynamique

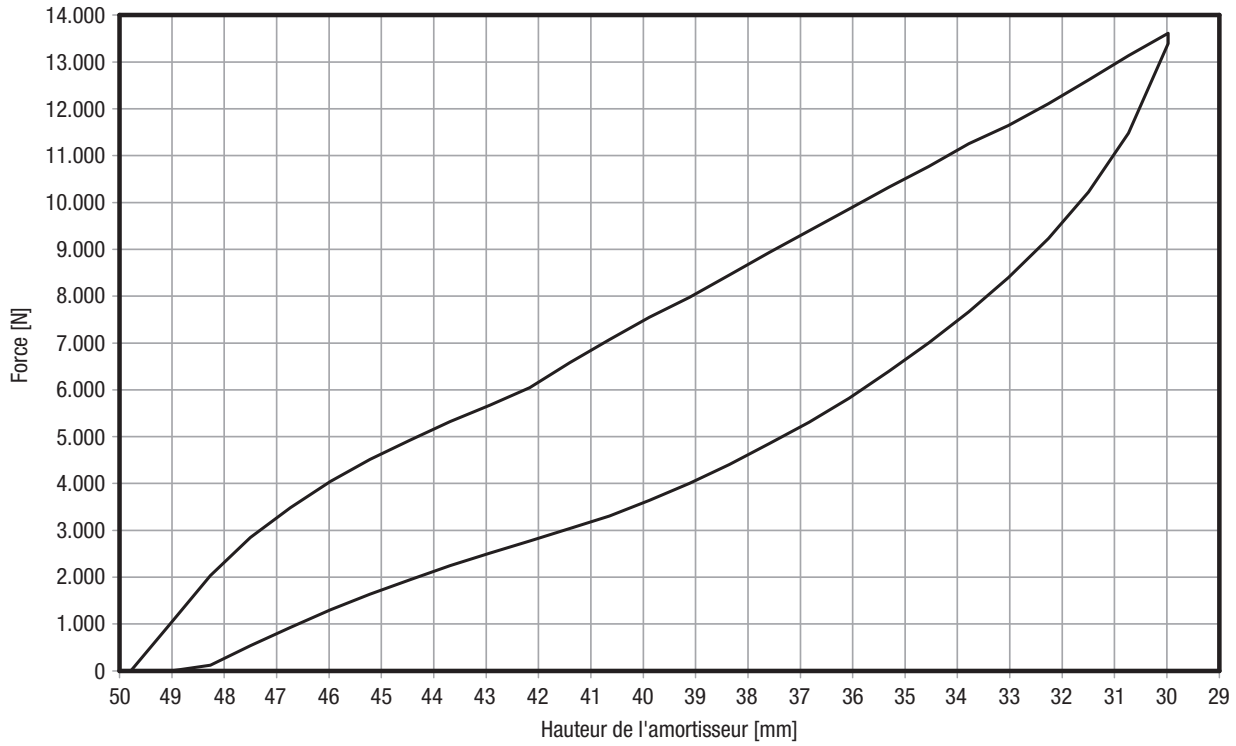
$E_{tot} : 201 \text{ Nm}$, $E_{abs} : 122 \text{ Nm}$, efficacité : 60 %



26180-05724

Courbe caractéristique force - course, statique

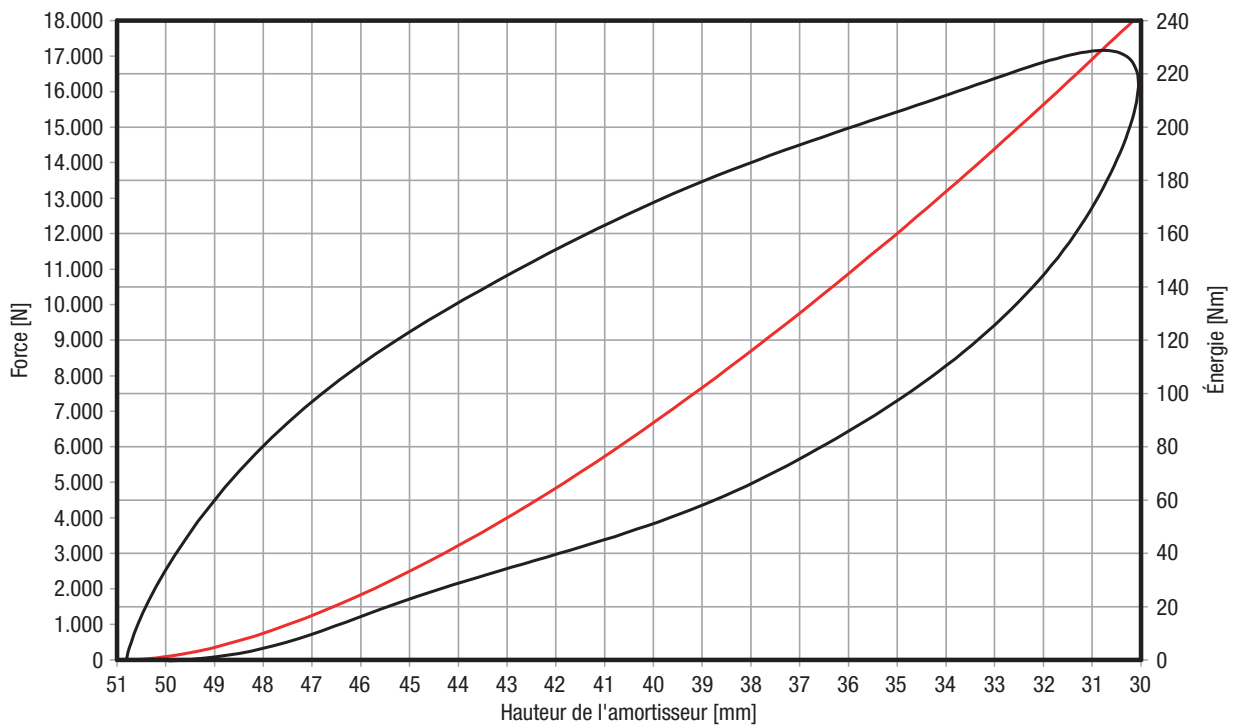
$E_{tot} : 148 \text{ Nm}$, $E_{abs} : 60 \text{ Nm}$, efficacité : 41%



26180-05724

Courbe caractéristique force - course, dynamique

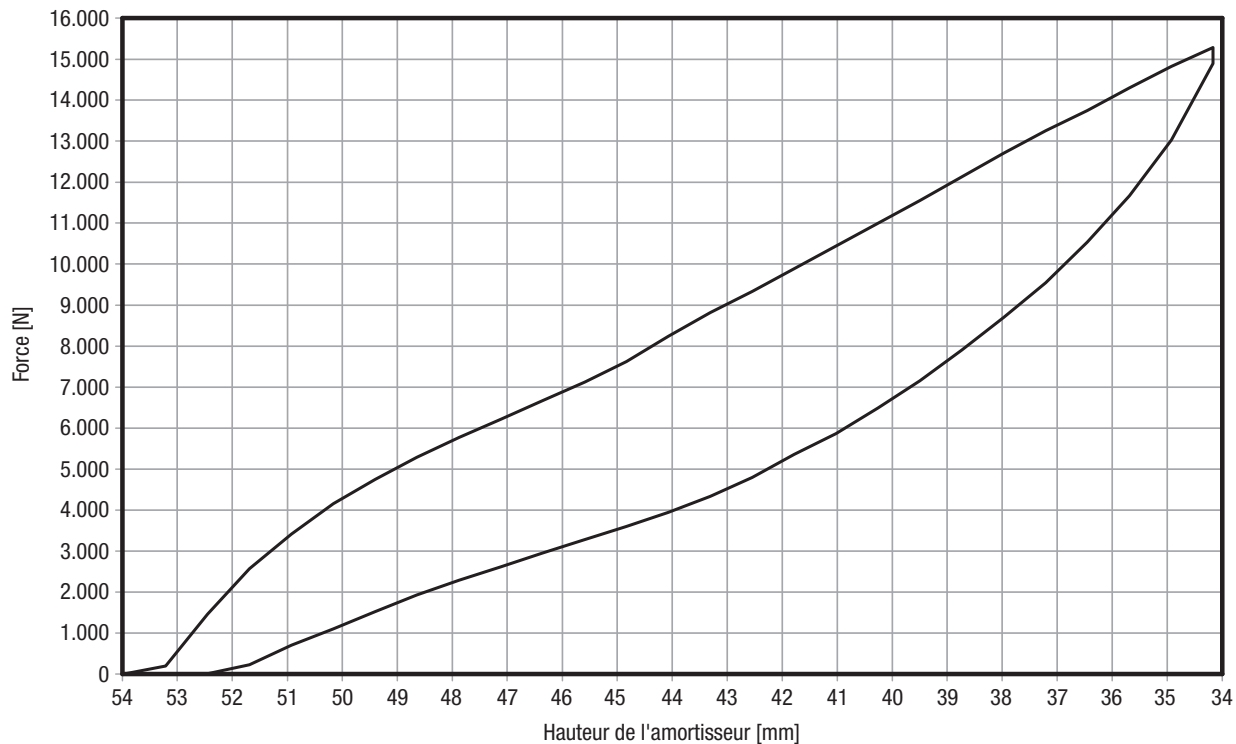
$E_{tot} : 242 \text{ Nm}$, $E_{abs} : 146 \text{ Nm}$, efficacité : 60 %



26180-06225

Courbe caractéristique force - course, statique

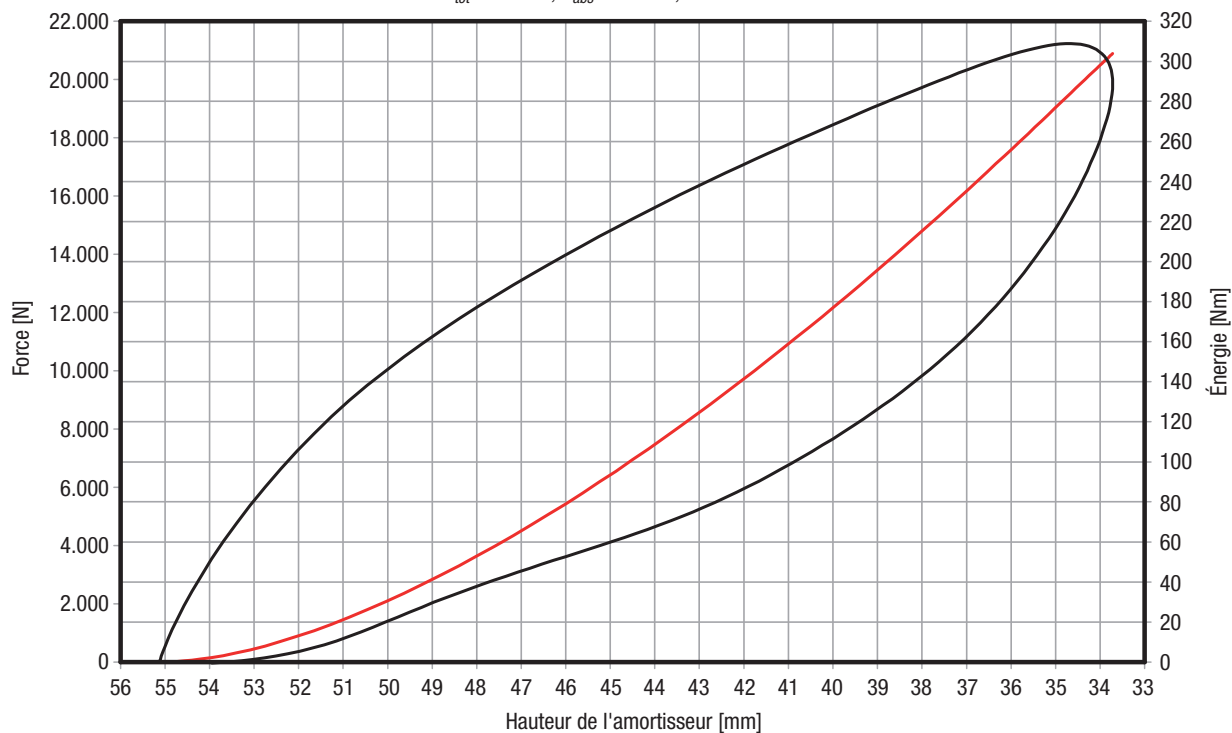
E_{tot} : 162 Nm, E_{abs} : 66 Nm, efficacité : 40 %



26180-06225

Courbe caractéristique force - course, dynamique

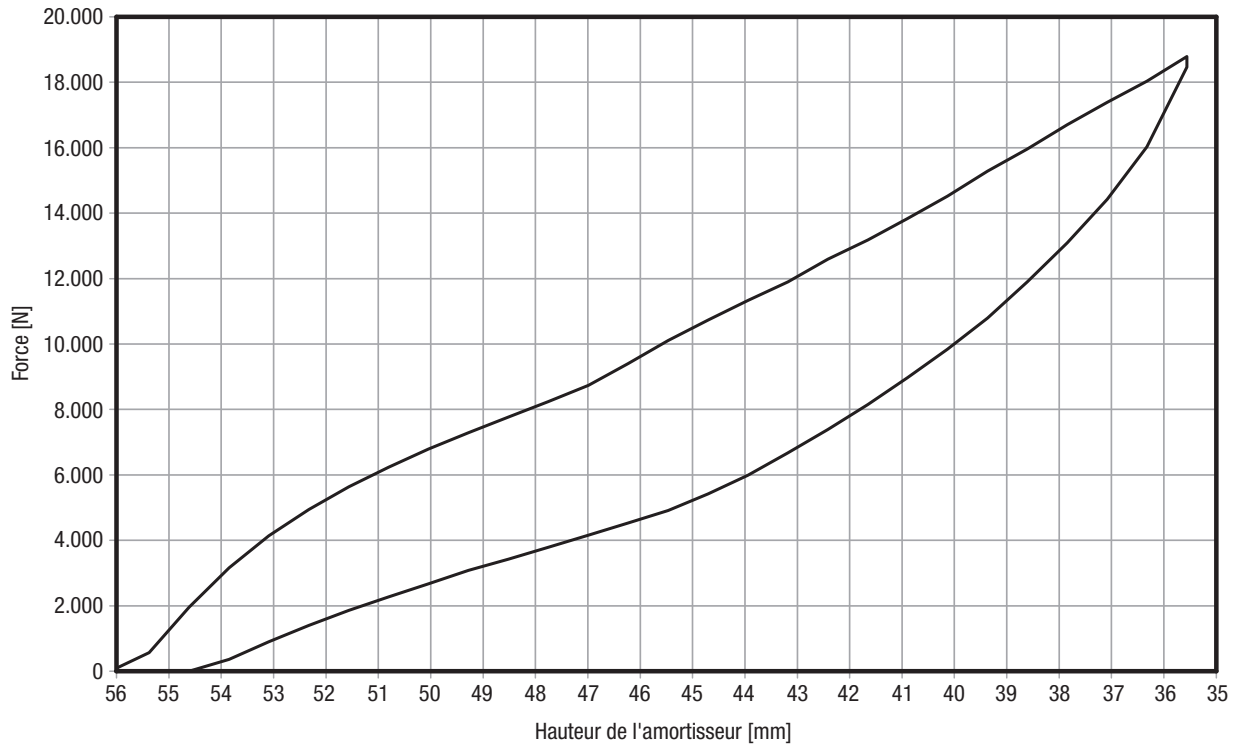
E_{tot} : 304 Nm, E_{abs} : 184 Nm, efficacité : 61 %



26180-06527

Courbe caractéristique force - course, statique

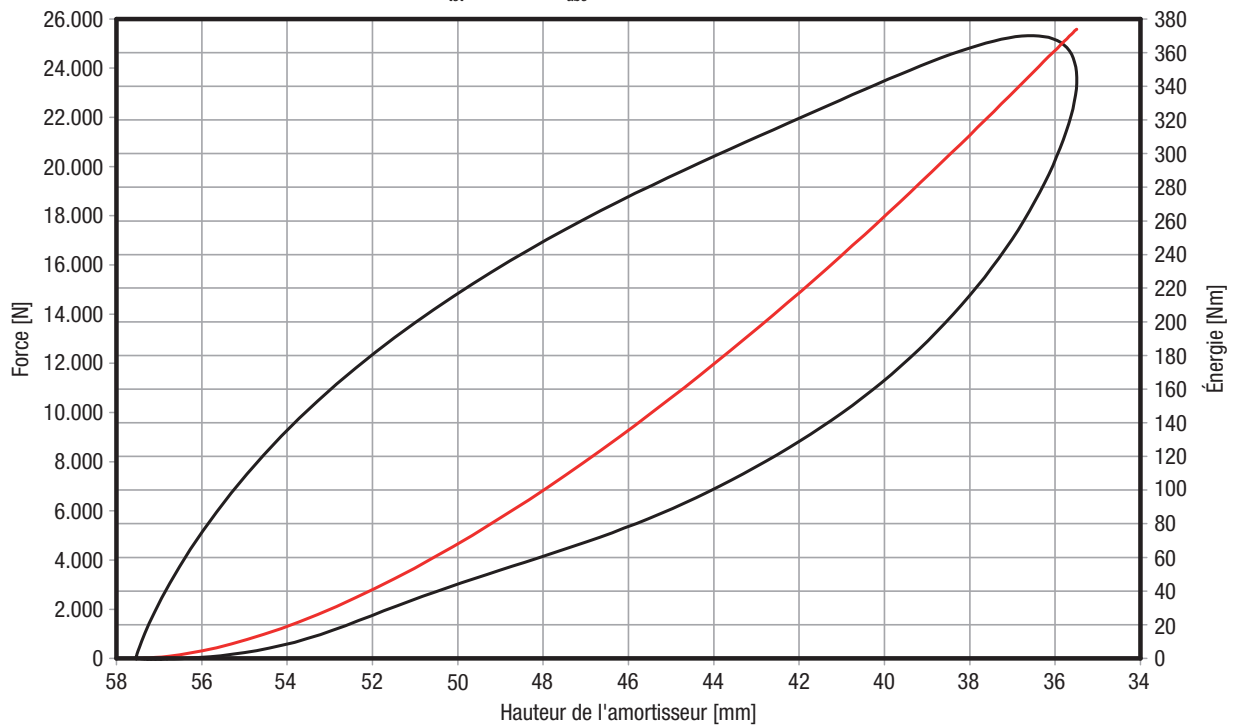
E_{tot} : 203 Nm, E_{abs} : 80 Nm, efficacité : 39 %



26180-06527

Courbe caractéristique force - course, dynamique

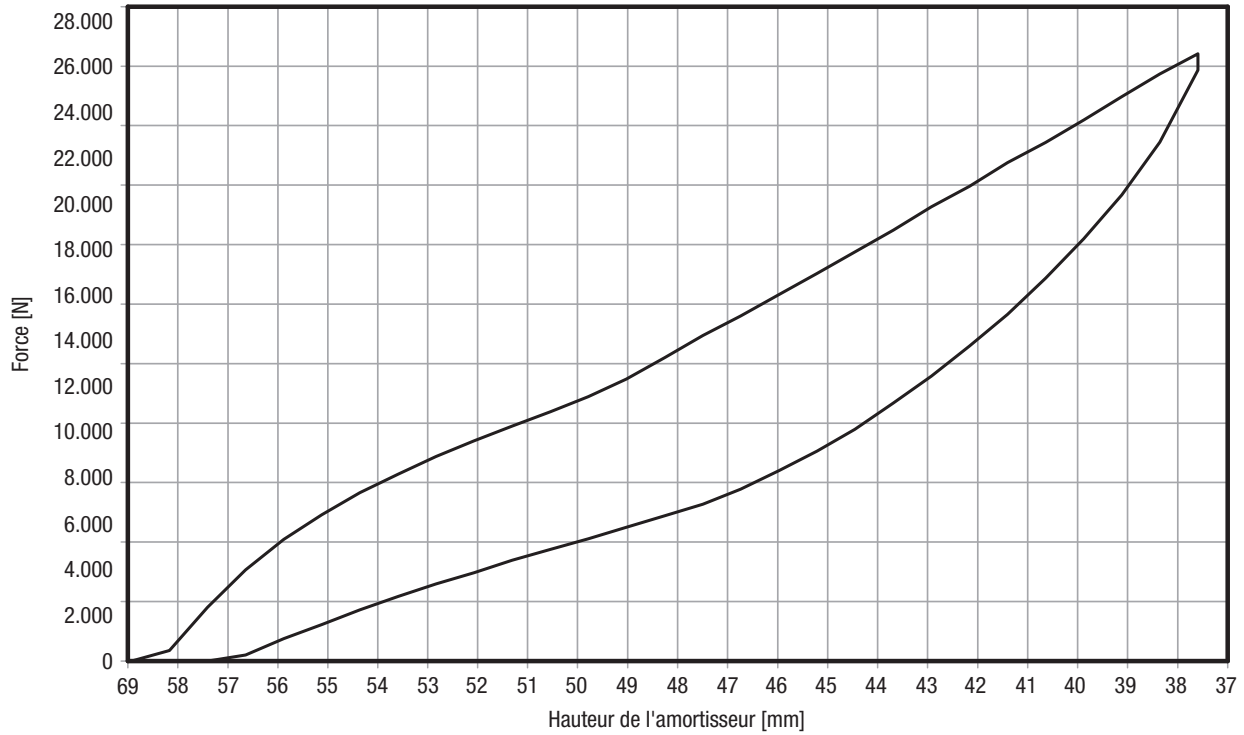
E_{tot} : 374 Nm, E_{abs} : 231 Nm, efficacité : 62 %



26180-07029

Courbe caractéristique force - course, statique

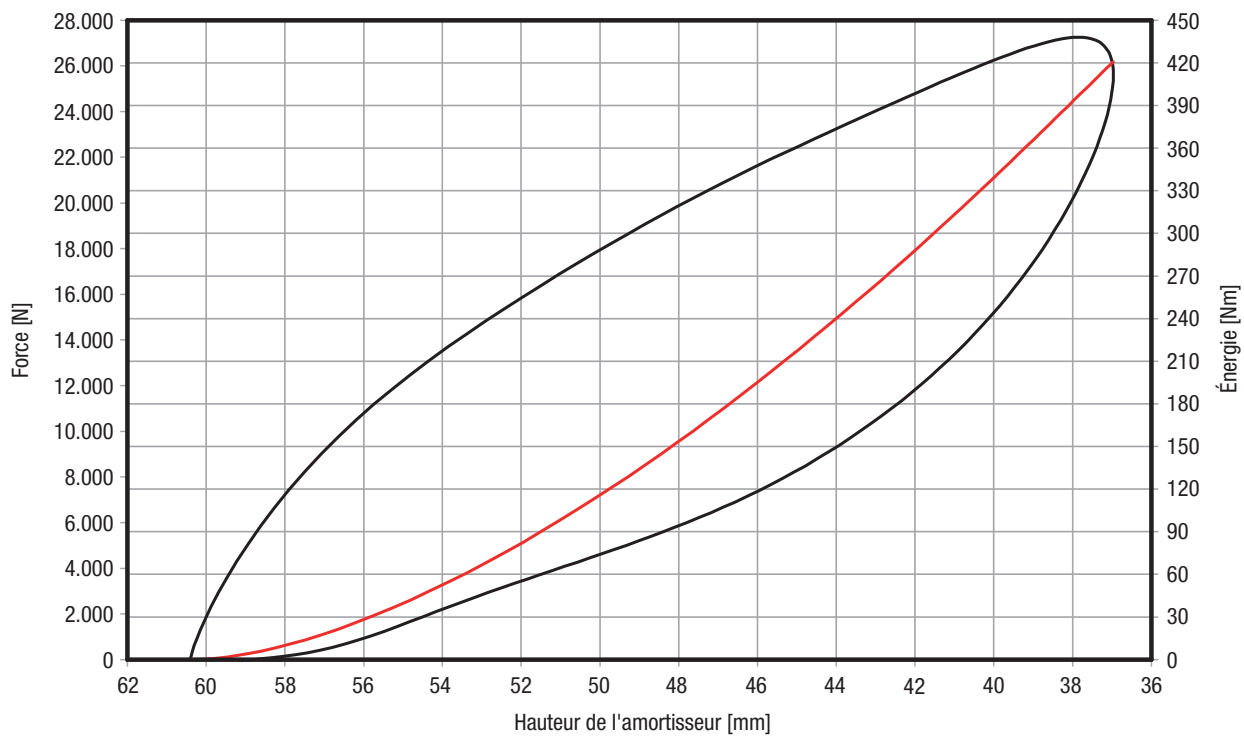
$E_{tot} : 224 \text{ Nm}$, $E_{abs} : 91 \text{ Nm}$, efficacité : 40 %



26180-07029

Courbe caractéristique force - course, dynamique

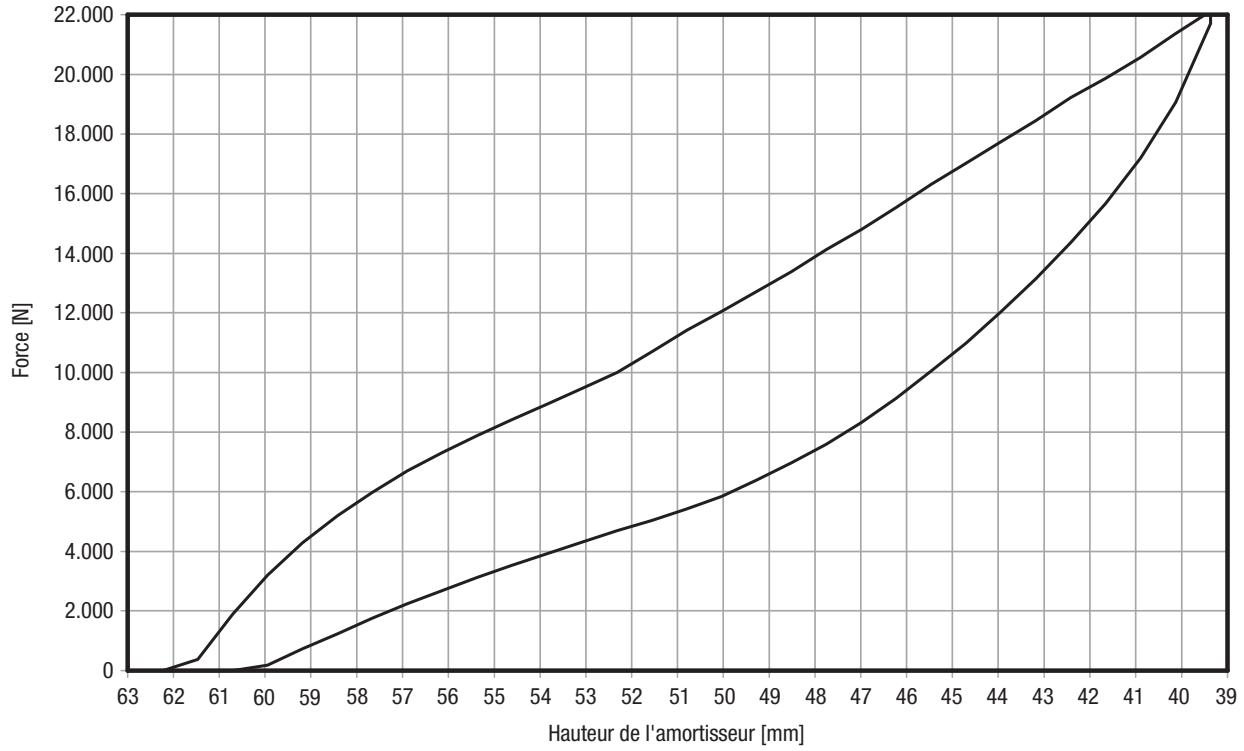
$E_{tot} : 421 \text{ Nm}$, $E_{abs} : 257 \text{ Nm}$, efficacité : 61 %



26180-07231

Courbe caractéristique force - course, statique

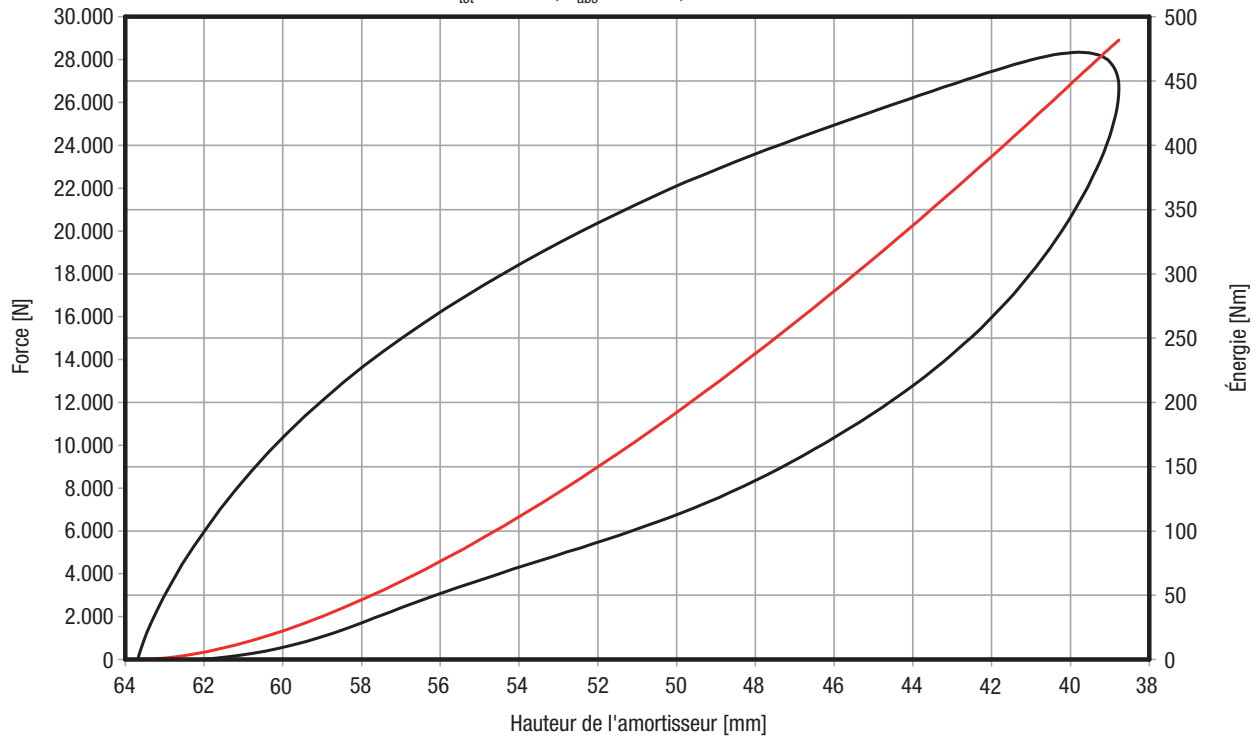
E_{tot} : 264 Nm, E_{abs} : 106 Nm, efficacité : 40 %



26180-07231

Courbe caractéristique force - course, dynamique

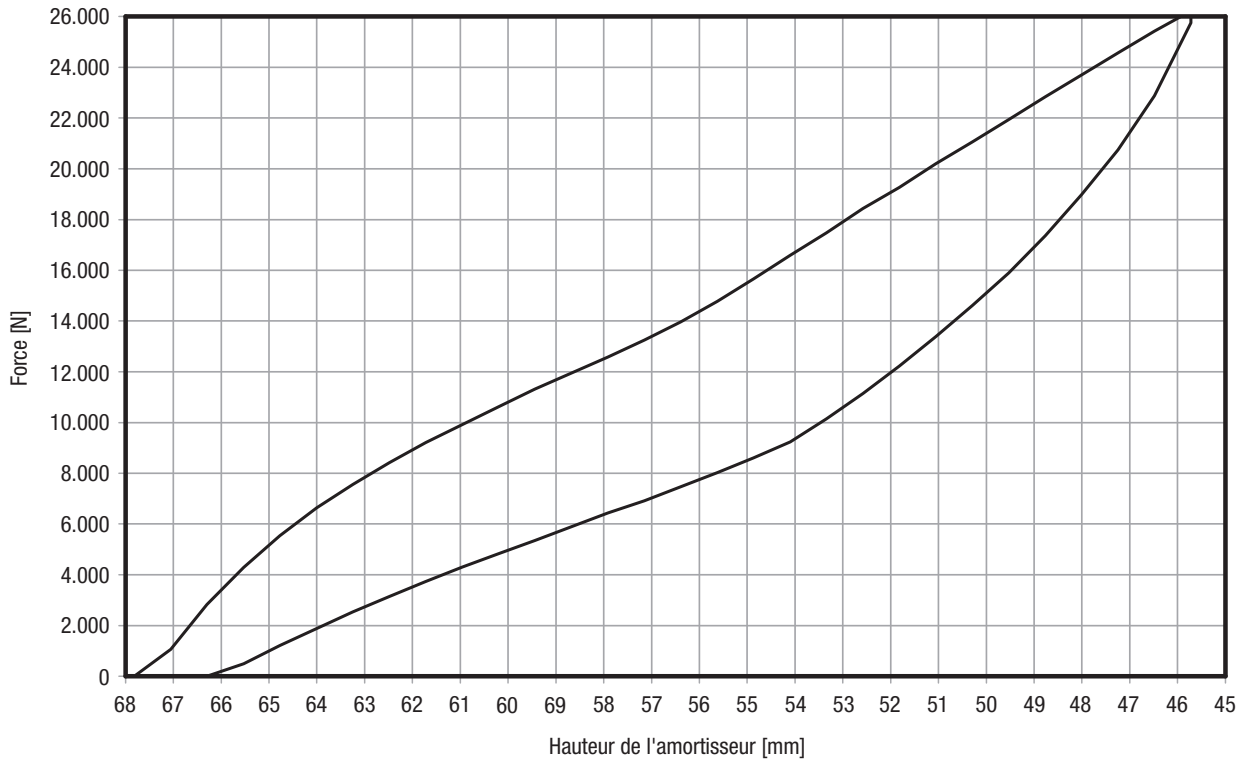
E_{tot} : 482 Nm, E_{abs} : 395 Nm, efficacité : 61 %



26180-0832

Courbe caractéristique force - course, statique

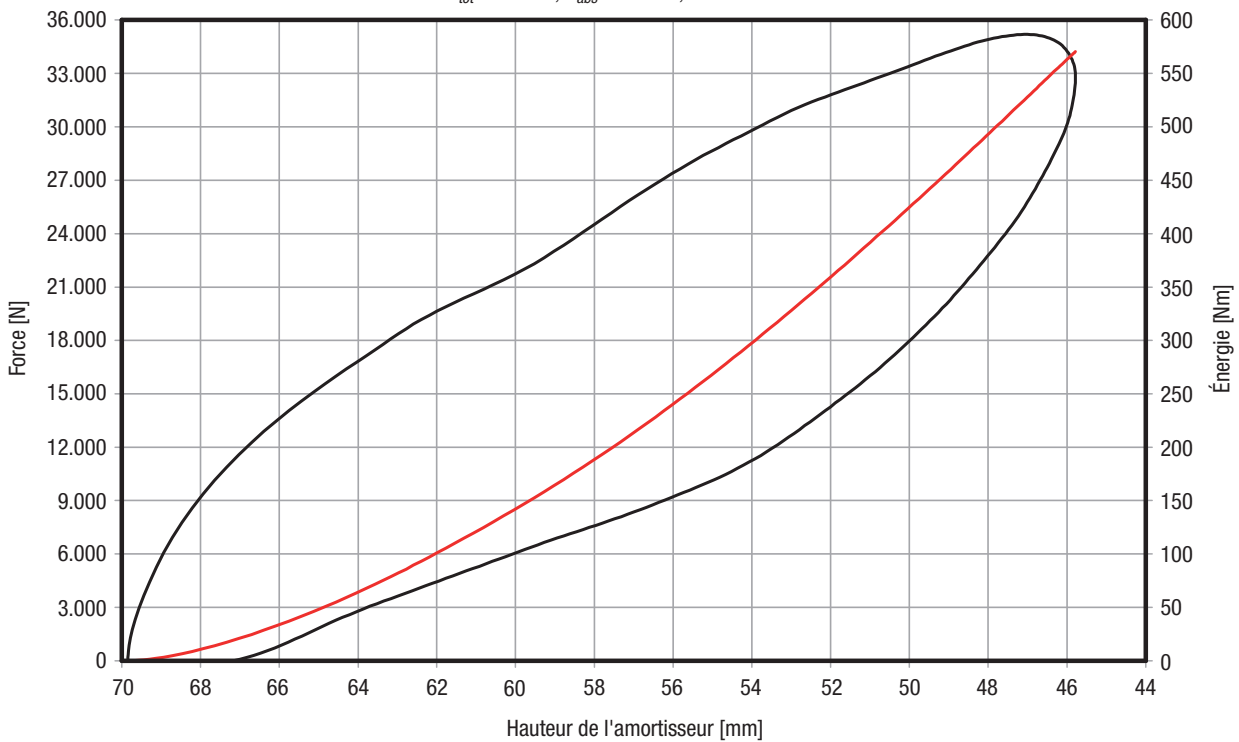
$E_{tot} : 308 \text{ Nm}$, $E_{abs} : 117 \text{ Nm}$, efficacité : 38 %



26180-0832

Courbe caractéristique force - course, dynamique

$E_{tot} : 570 \text{ Nm}$, $E_{abs} : 342 \text{ Nm}$, efficacité : 60 %



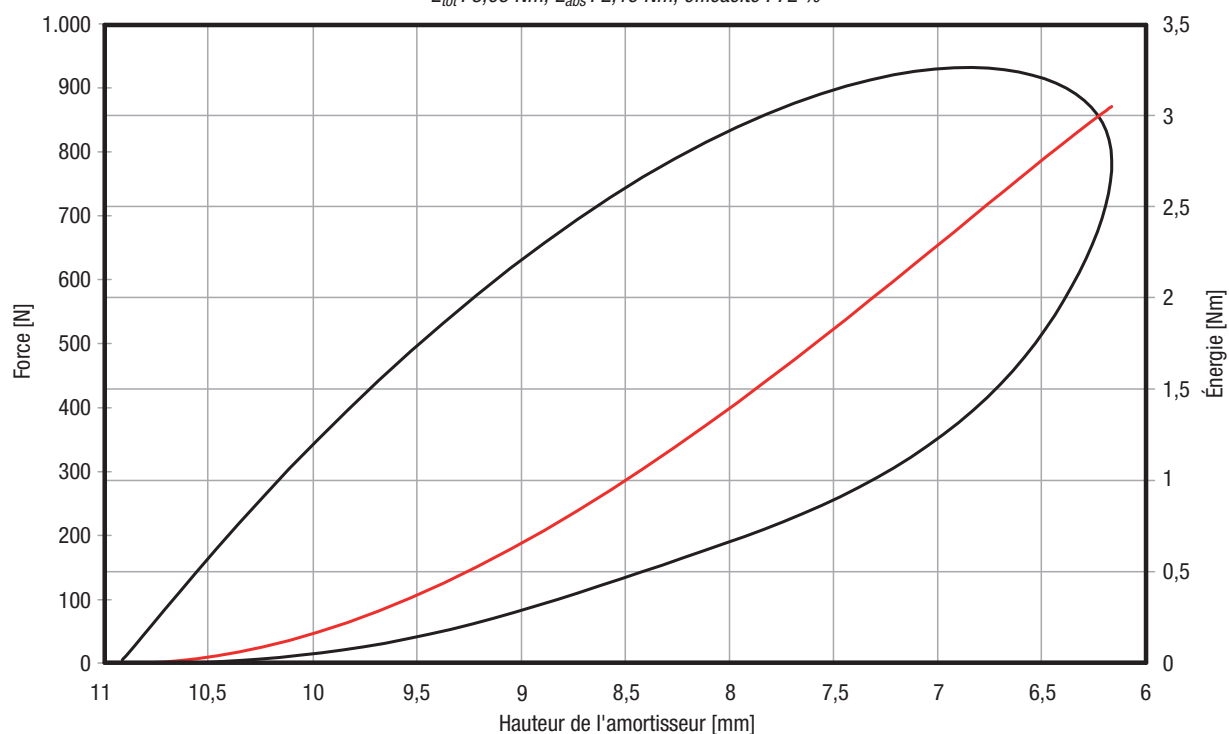
Informations techniques pour les amortisseurs

Courbes caractéristiques pour l'arrêt d'urgence

26180-01205

Insert d'arrêt d'urgence, dynamique

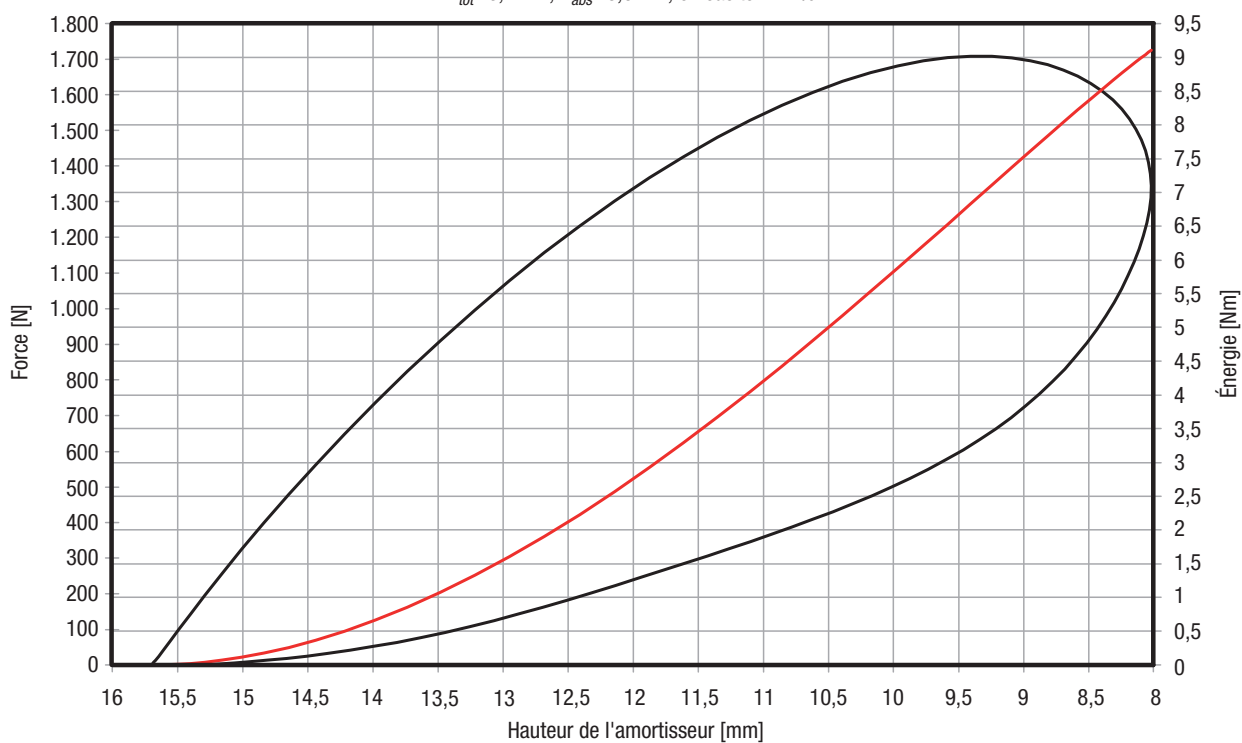
$E_{tot} : 3,05 \text{ Nm}$, $E_{abs} : 2,19 \text{ Nm}$, efficacité : 72 %



26180-01707

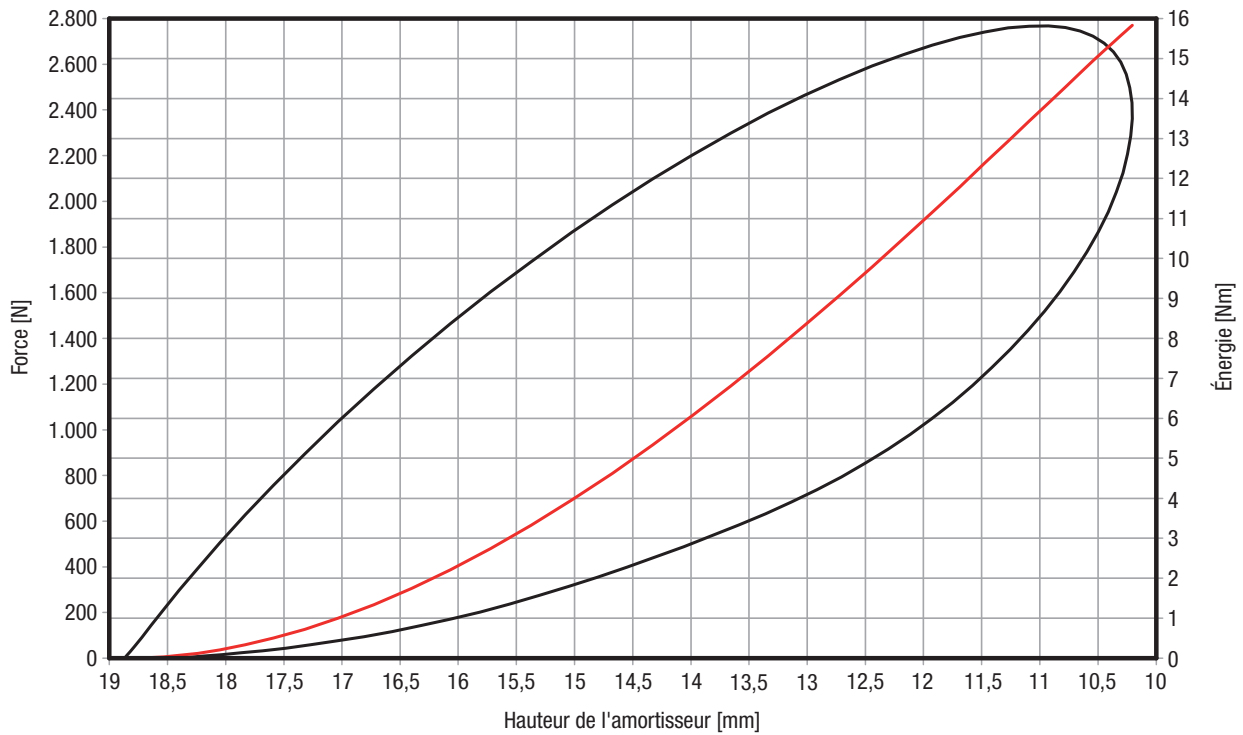
Insert d'arrêt d'urgence, dynamique

$E_{tot} : 9,1 \text{ Nm}$, $E_{abs} : 6,6 \text{ Nm}$, efficacité : 72 %



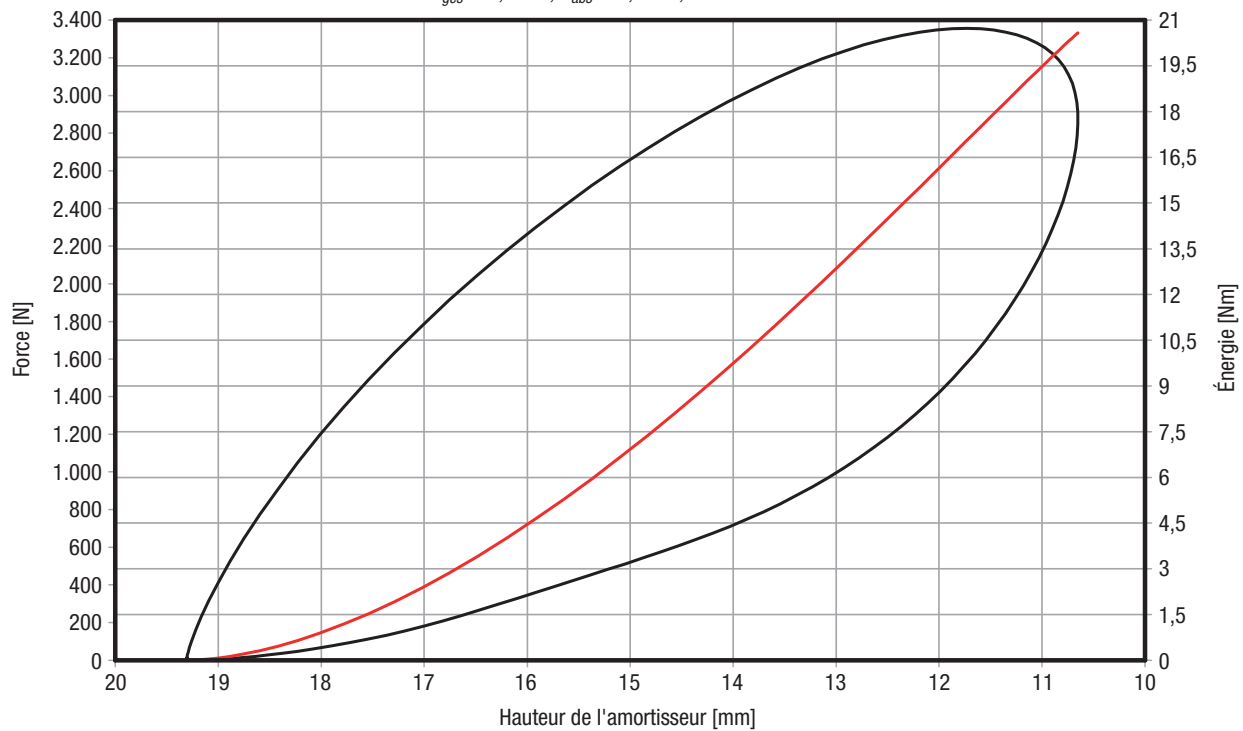
26180-02109

Insert d'arrêt d'urgence, dynamique
 $E_{tot} : 15,8 \text{ Nm}$, $E_{abs} : 10,9 \text{ Nm}$, efficacité : 69 %



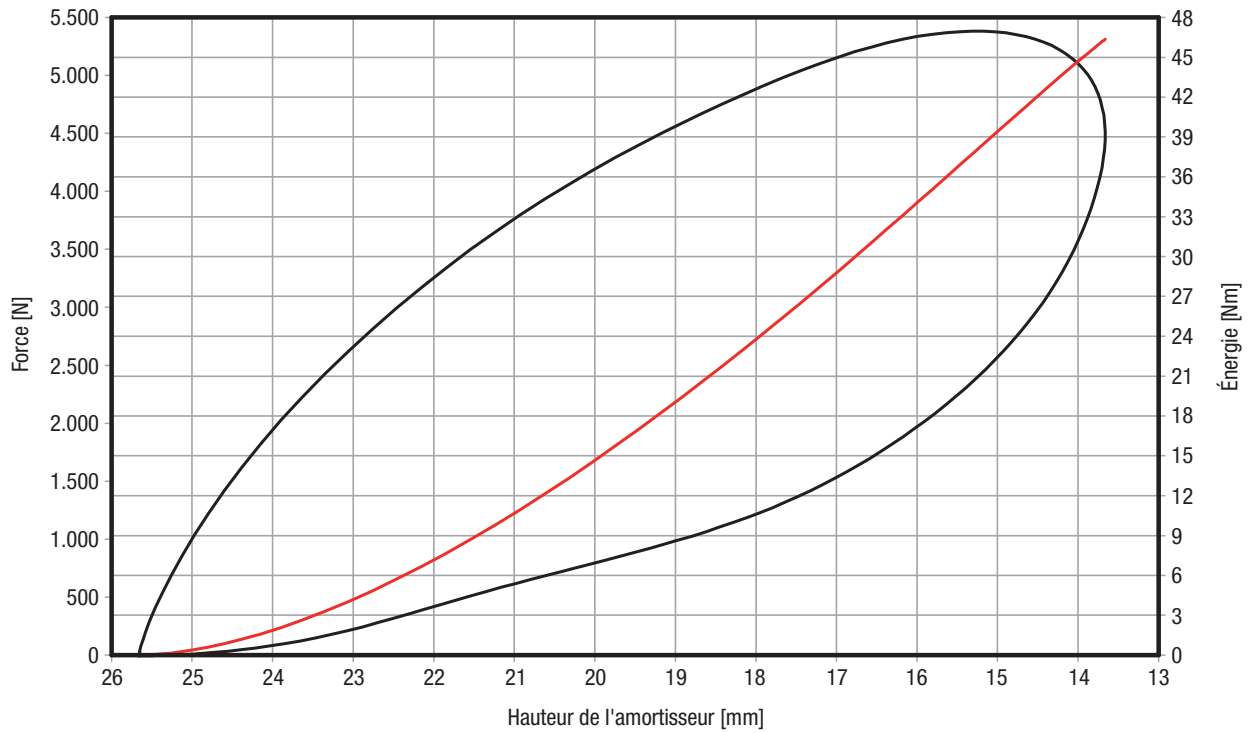
26180-02210

Insert d'arrêt d'urgence, dynamique
 $E_{ges} : 20,6 \text{ Nm}$, $E_{abs} : 14,5 \text{ Nm}$, efficacité : 70 %



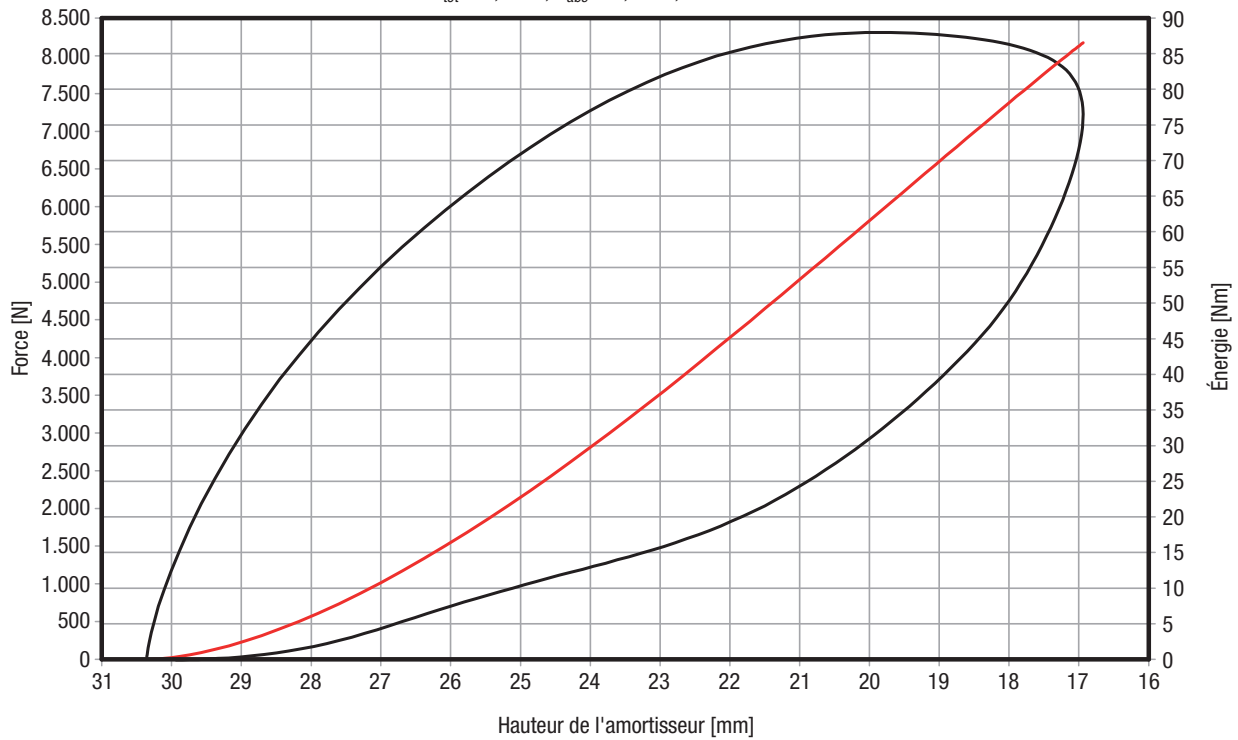
26180-02812

Insert d'arrêt d'urgence, dynamique
 $E_{tot} : 46,4 \text{ Nm}$, $E_{abs} : 33 \text{ Nm}$, efficacité : 71 %



26180-03414

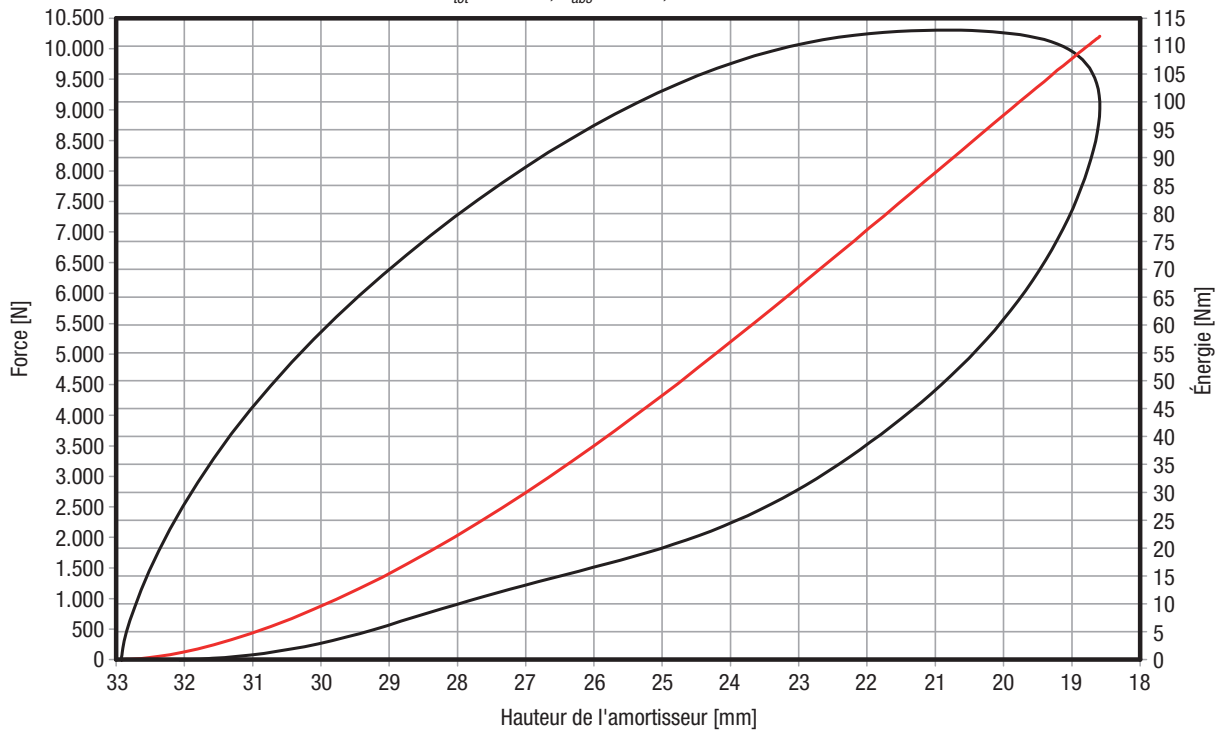
Insert d'arrêt d'urgence, dynamique
 $E_{tot} : 86,5 \text{ Nm}$, $E_{abs} : 62,5 \text{ Nm}$, efficacité : 72 %



26180-03716

Insert d'arrêt d'urgence, dynamique

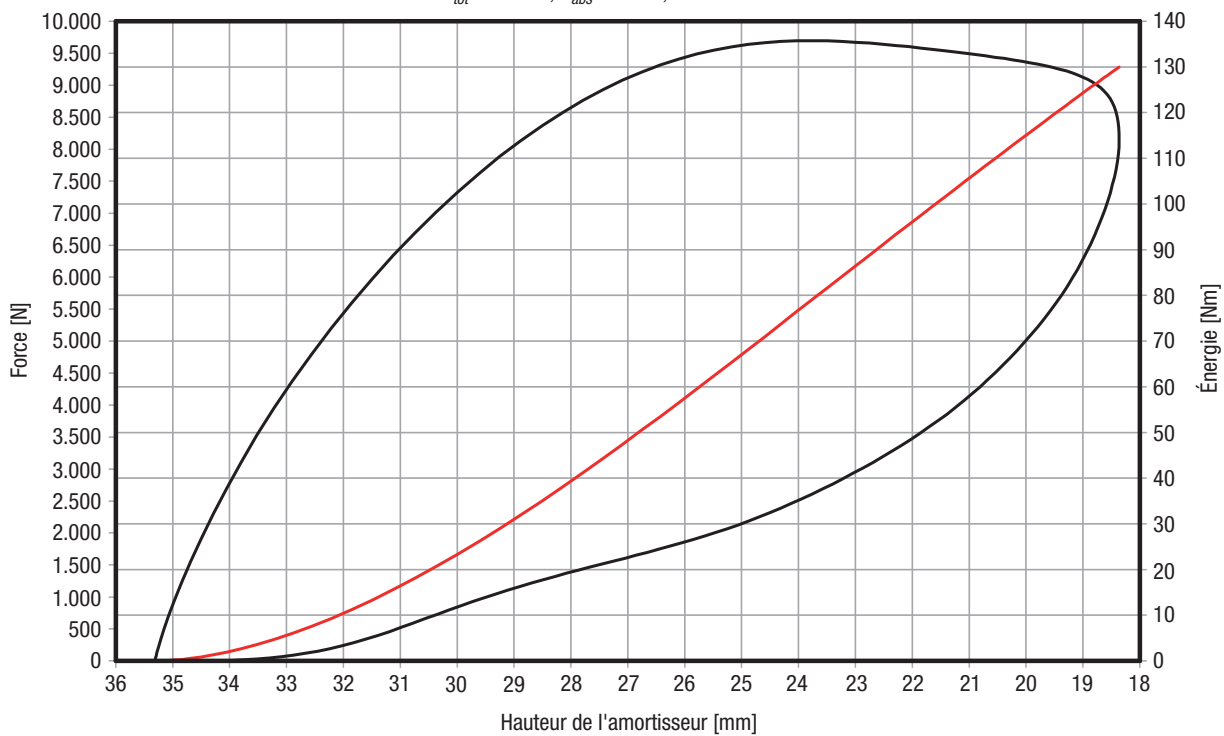
E_{tot} : 112 Nm, E_{abs} : 80 Nm, efficacité : 72 %



26180-04016

Insert d'arrêt d'urgence, dynamique

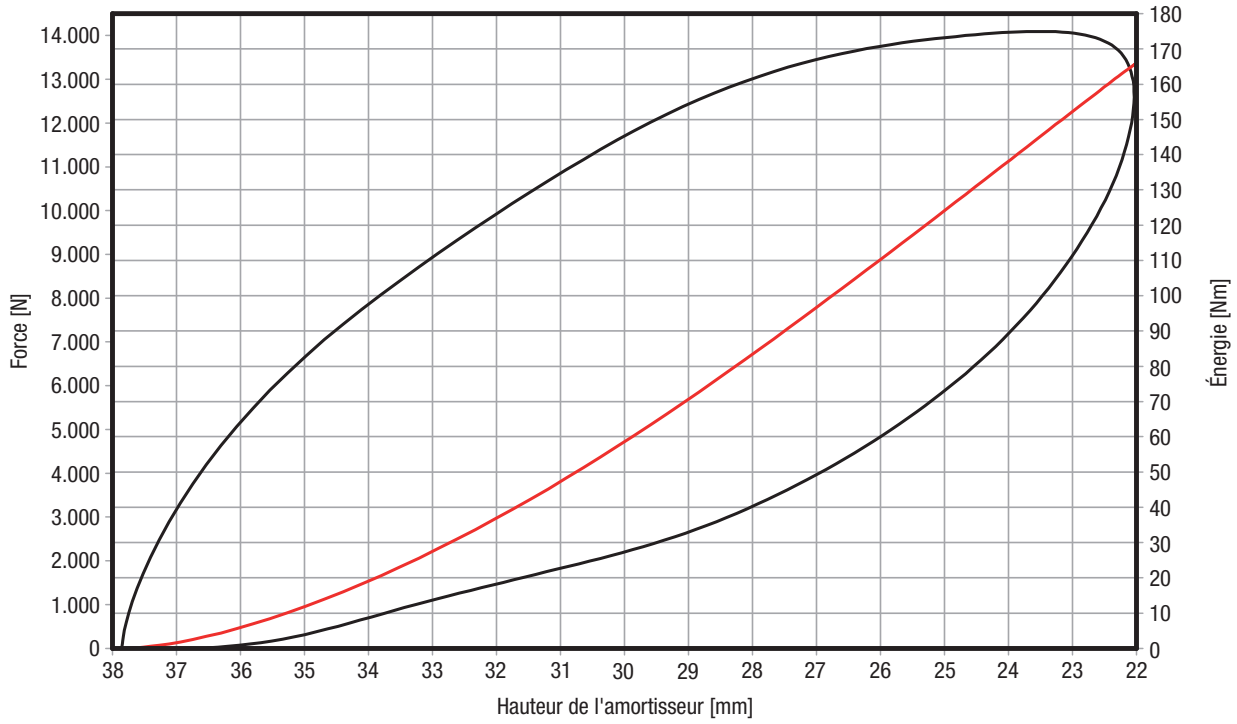
E_{tot} : 130 Nm, E_{abs} : 95 Nm, efficacité : 73 %



26180-04318

Insert d'arrêt d'urgence, dynamique

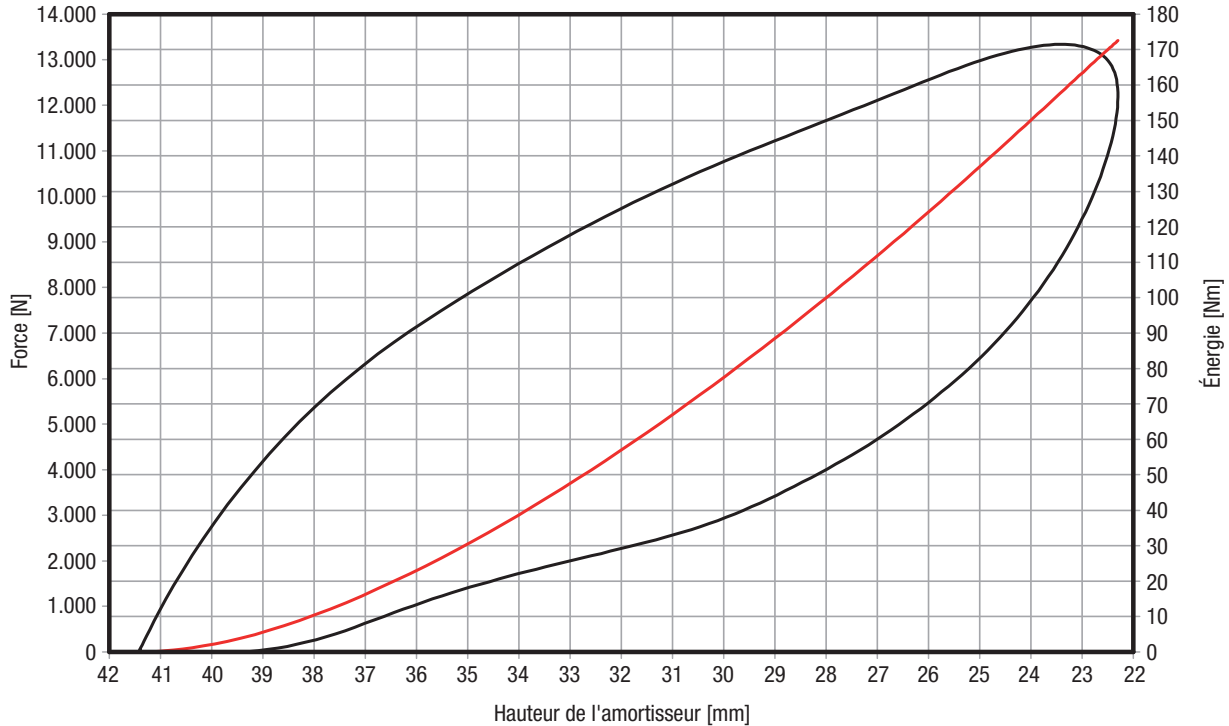
$E_{tot} : 165 \text{ Nm}$, $E_{abs} : 116 \text{ Nm}$, efficacité : 70 %



26180-04720

Insert d'arrêt d'urgence, dynamique

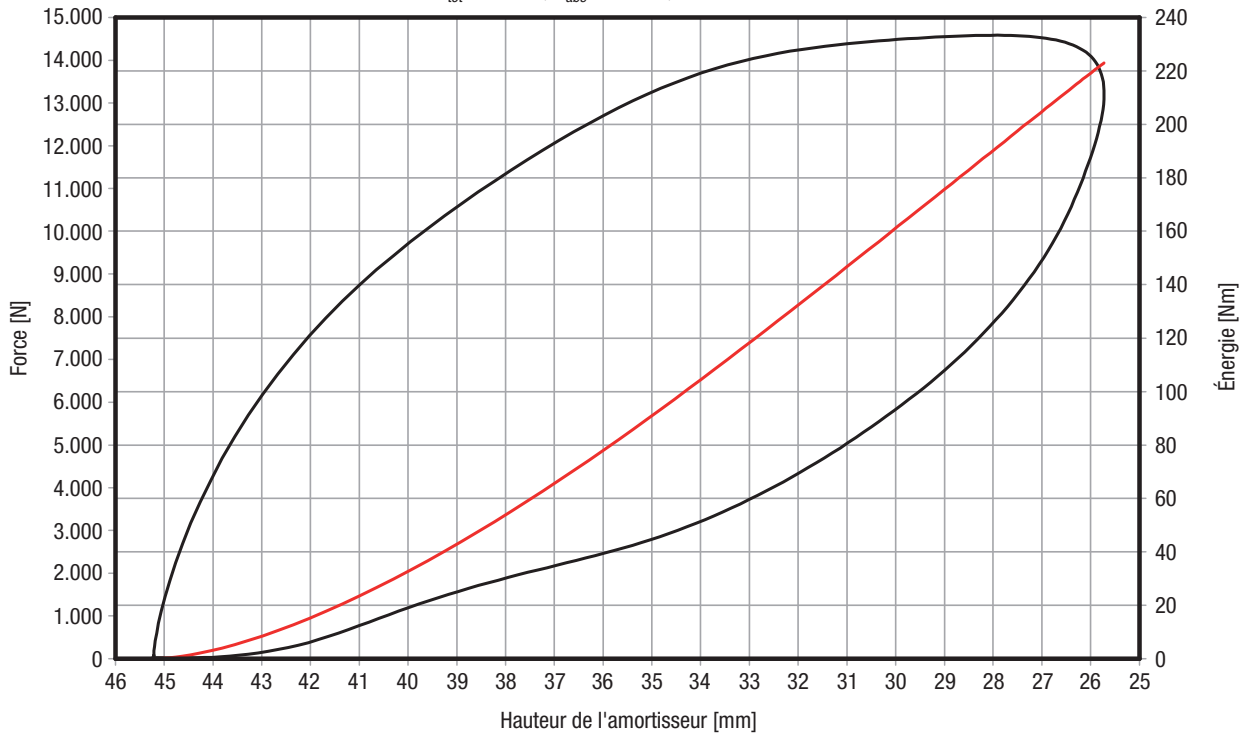
$E_{tot} : 173 \text{ Nm}$, $E_{abs} : 114 \text{ Nm}$, efficacité : 66 %



26180-05022

Insert d'arrêt d'urgence, dynamique

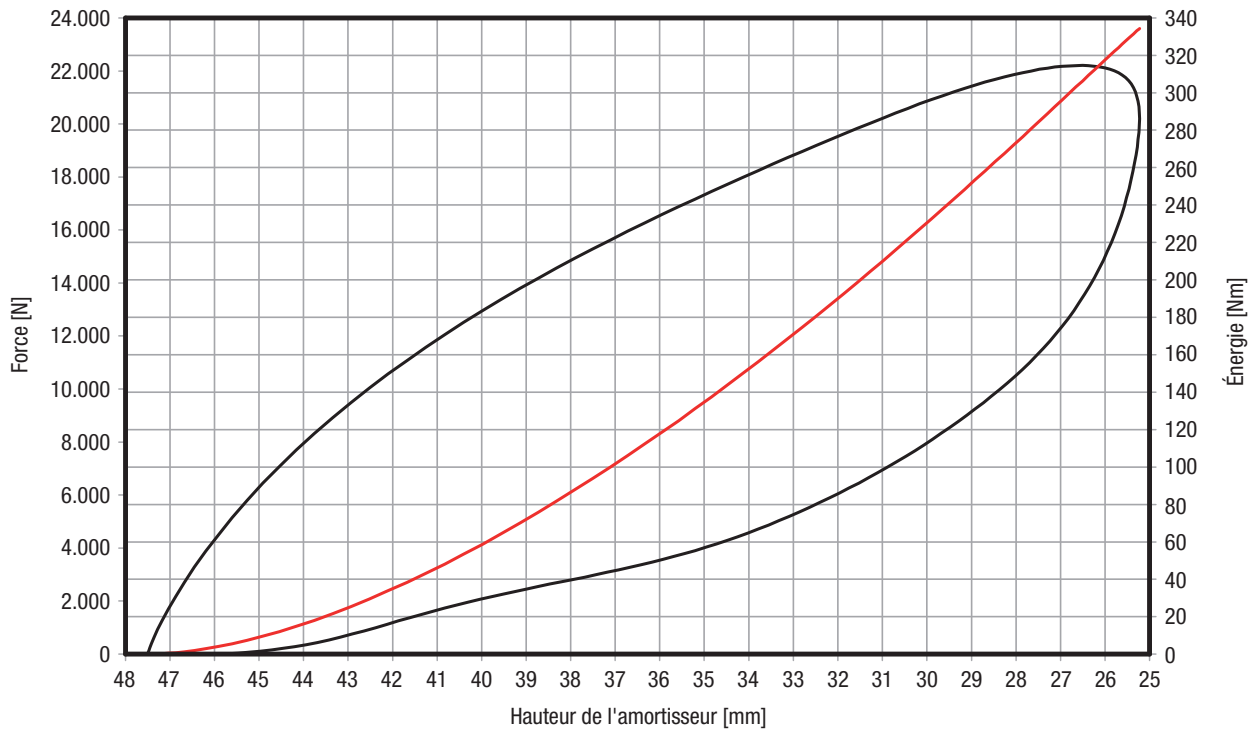
$E_{tot} : 223 \text{ Nm}$, $E_{abs} : 155 \text{ Nm}$, efficacité : 69 %



26180-05422

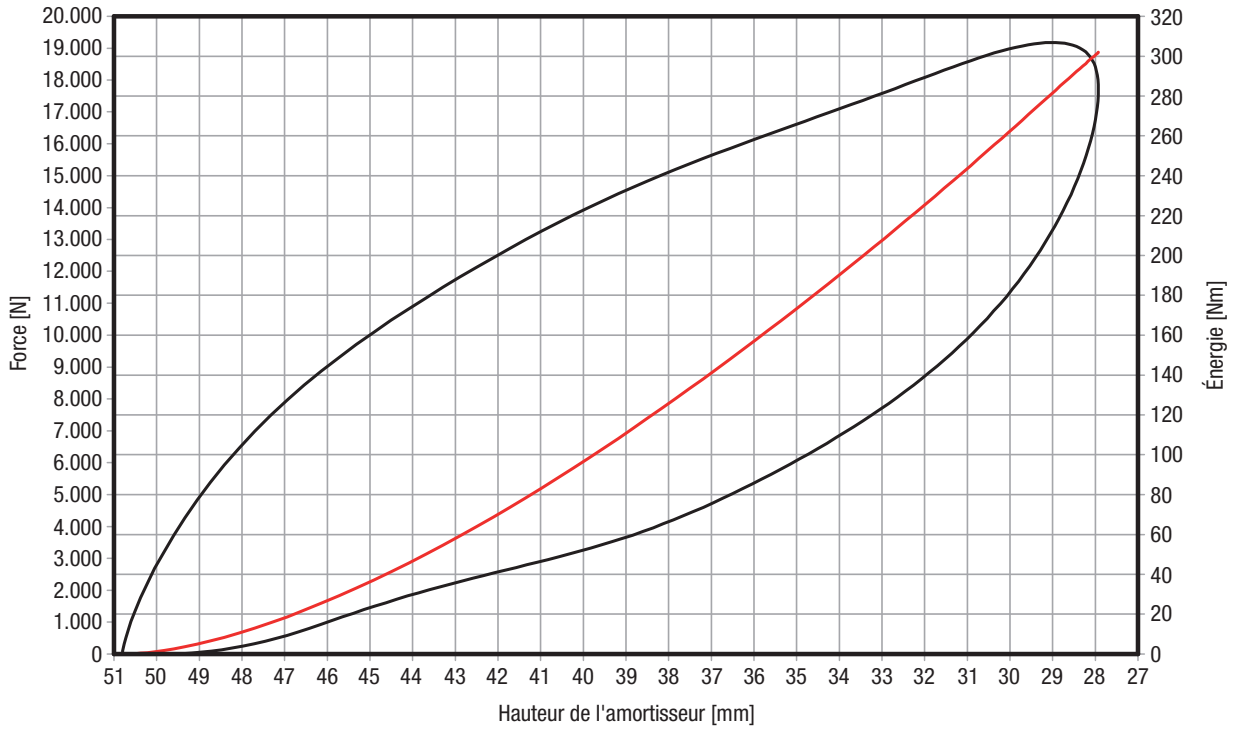
Insert d'arrêt d'urgence, dynamique

$E_{tot} : 334 \text{ Nm}$, $E_{abs} : 229 \text{ Nm}$, efficacité : 69 %



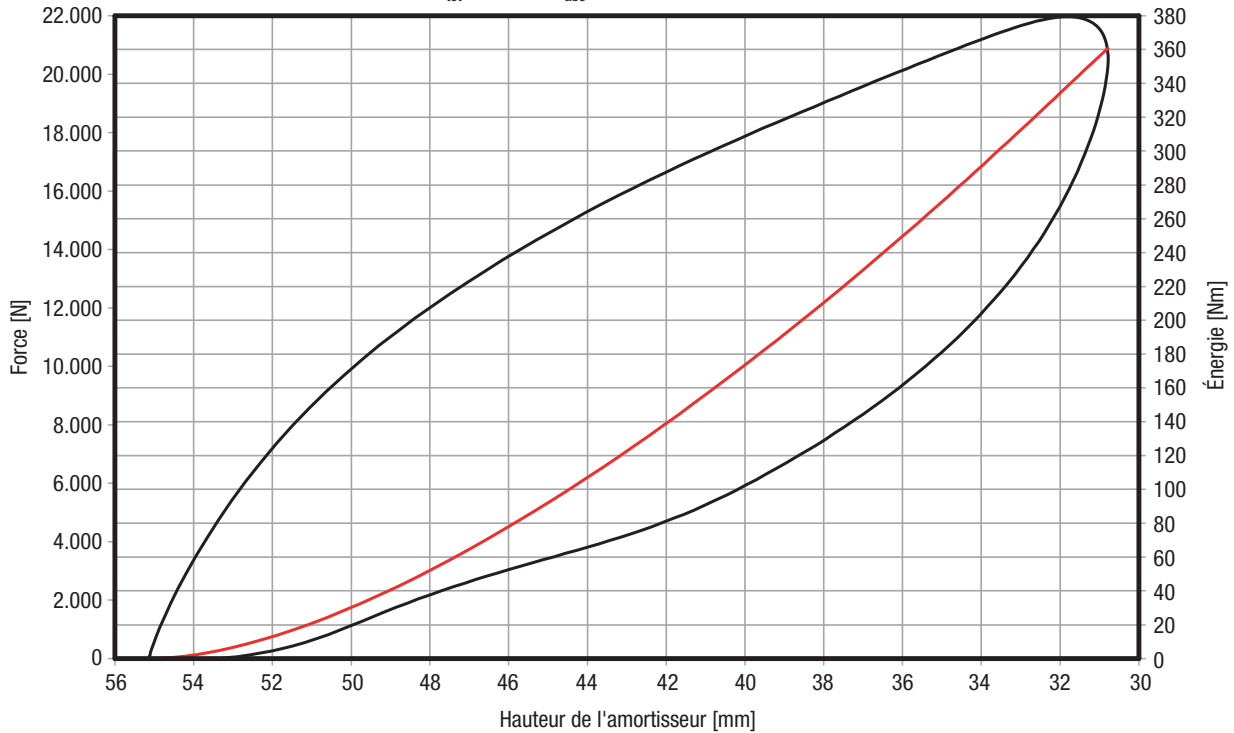
26180-05724

Insert d'arrêt d'urgence, dynamique
 $E_{tot} : 302 \text{ Nm}$, $E_{abs} : 195 \text{ Nm}$, efficacité : 65 %



26180-06225

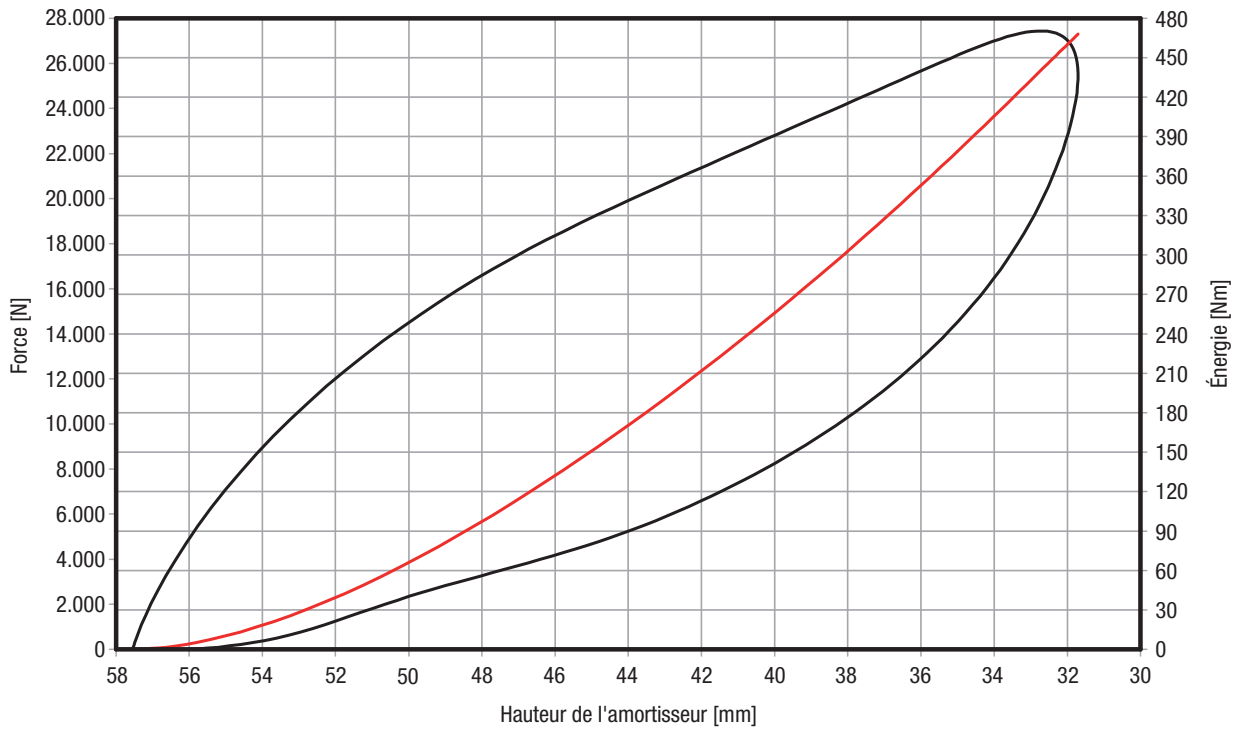
Insert d'arrêt d'urgence, dynamique
 $E_{tot} : 361 \text{ Nm}$, $E_{abs} : 226 \text{ Nm}$, efficacité : 63 %



26180-06527

Insert d'arrêt d'urgence, dynamique

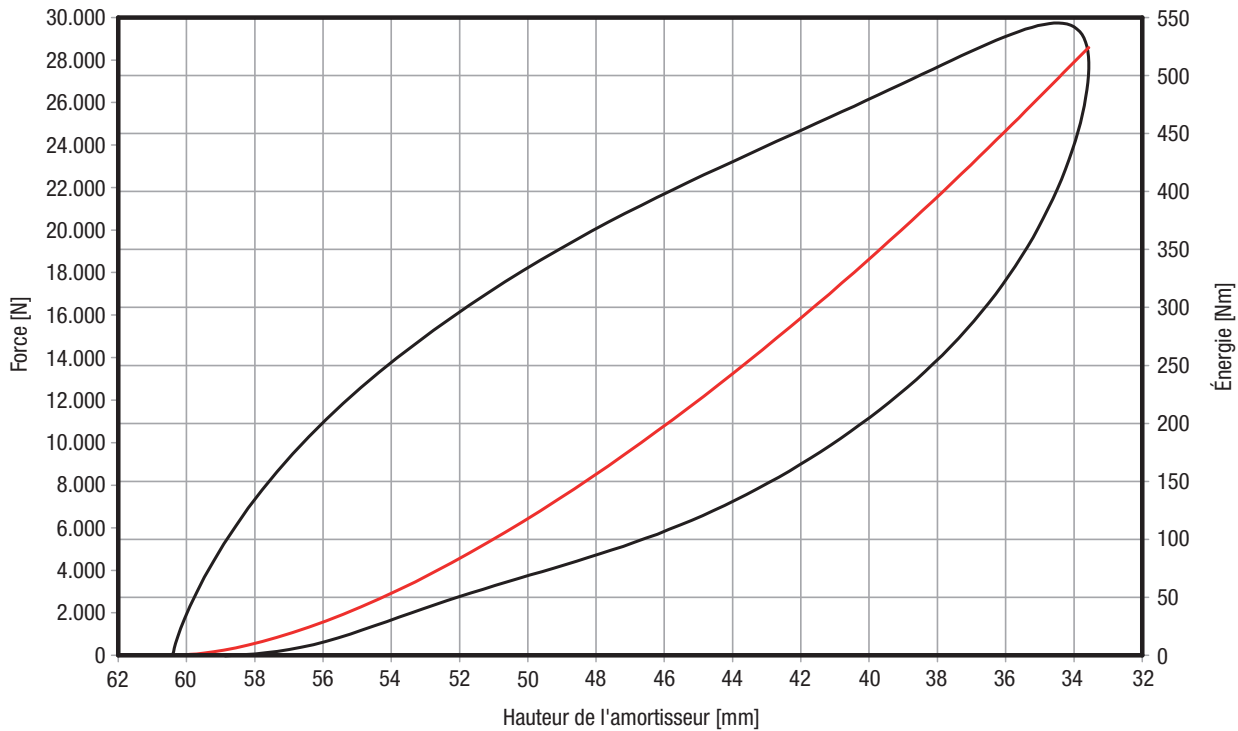
$E_{tot} : 468 \text{ Nm}$, $E_{abs} : 297 \text{ Nm}$, efficacité : 64 %



26180-07029

Insert d'arrêt d'urgence, dynamique

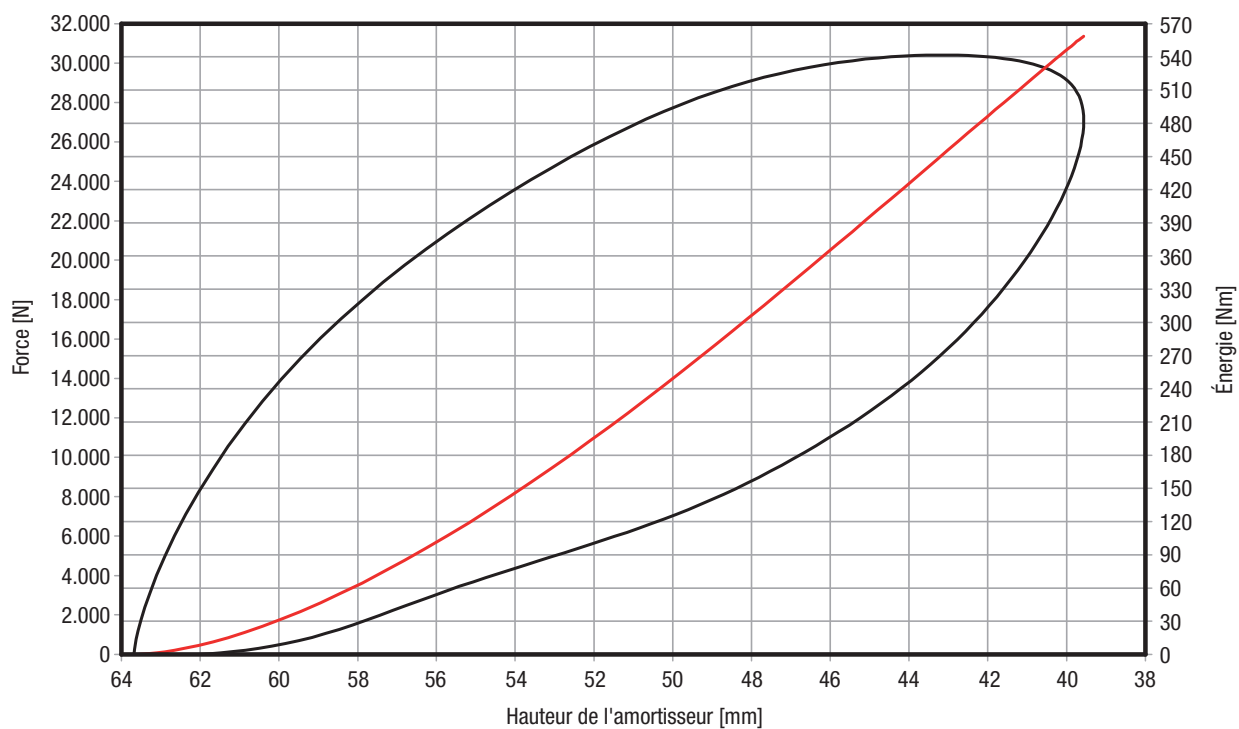
$E_{tot} : 524 \text{ Nm}$, $E_{abs} : 334 \text{ Nm}$, efficacité : 64 %



26180-07231

Insert d'arrêt d'urgence, dynamique

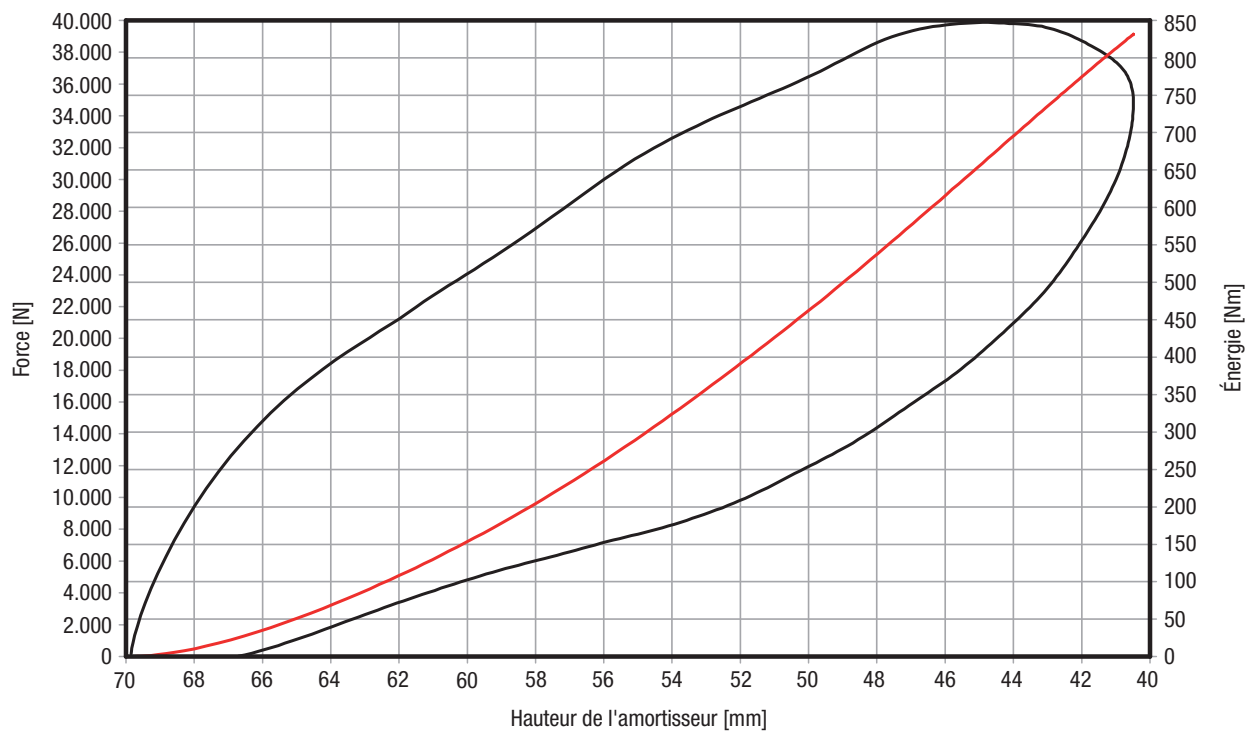
E_{tot} : 559 Nm, E_{abs} : 379 Nm, efficacité : 67 %



26180-08032

Insert d'arrêt d'urgence, dynamique

E_{tot} : 831 Nm, E_{abs} : 550 Nm, efficacité : 66 %



Description de l'article/illustrations du produit

**Description****Matière :**

Élastomère co-polyester.

Finition :

Dureté du matériau Shore 55D.

Nota :

Conçu pour arrêt d'urgence et utilisation en continu.

Diminution d'énergie : 58 % à 73 %.

Prise de force dynamique : 870 N à 35 190 N.

Vitesse d'engagement : max. 5 m/s.

Les amortisseurs structuraux ne nécessitent pas d'entretien et sont livrés prêts à monter avec une vis de fixation spéciale.

Environnement : résistant aux microbes, à l'eau de mer, aux produits chimiques, et bonne résistance aux UV et à l'ozone.

Utilisation :

Chariots linéaires et guides linéaires, vérins pneumatiques, dispositifs de manipulation, machines et installations.

Plage de température :

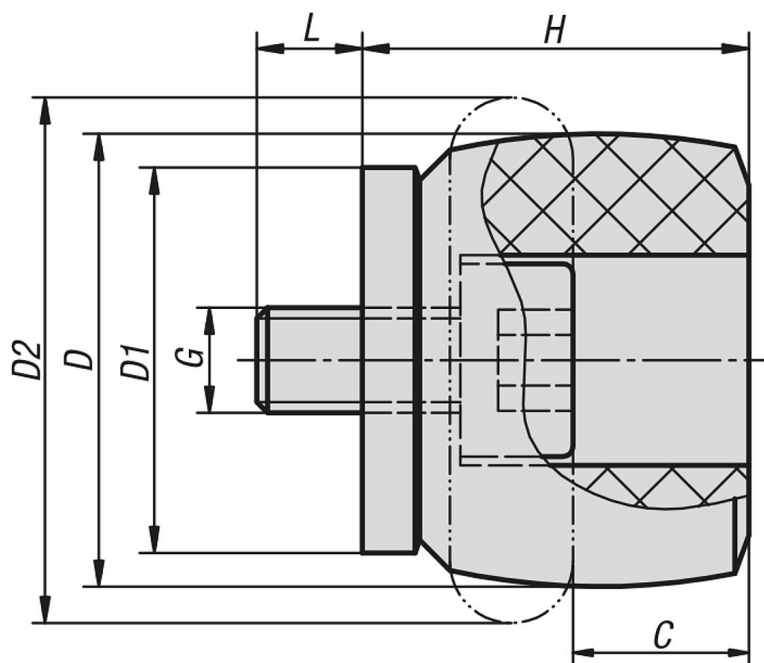
-40 °C jusqu'à +90 °C.

Montage :

Position de montage : indifférente.

Sécuriser la vis de fixation avec de la Loctite.

Dessins



Aperçu des articles

Référence	C Course	D	D1	D2	G	H	L	Énergie maximale absorbée par course N-m sous charge	Énergie maximale absorbée par course N-m en cas d'arrêt d'urgence	Couple de serrage des vis (Nm)
26180-01205	5	12	11	15	-	11	3	2	3	1
26180-01707	7	17	15	22	M4	16	4	6	9	1,7
26180-02109	9	21	18	26	M5	18	5	10	16	2,3
26180-02210	10	22	19	27	M6	19	6	11,5	21	6
26180-02812	12	28	25	36	M6	26	6	29	46	6
26180-03414	14	34	30	43	M6	30	6	48	87	6
26180-03716	16	37	33	48	M6	33	6	65	112	6
26180-04016	16	40	34	50	M8	35	8	82	130	20
26180-04318	18	43	38	55	M8	38	8	112	165	20
26180-04720	20	47	41	60	M12	41	12	140	173	50
26180-05022	22	50	44	64	M12	45	12	170	223	50
26180-05422	22	54	47	68	M12	47	12	201	334	50
26180-05724	24	57	50	73	M12	51	12	242	302	50
26180-06225	25	62	53	78	M12	54	12	304	361	50
26180-06527	27	65	57	82	M12	58	12	374	468	50
26180-07029	29	70	60	86	M12	61	12	421	524	50
26180-07231	31	72	63	91	M16	65	16	482	559	120
26180-08032	32	80	69	100	M16	69	16	570	831	120

Description de l'article/illustrations du produit

**Description****Matière :**

Élastomère co-polyester.

Finition :

Dureté du matériau Shore 40D.

Nota :

Conçu pour arrêt d'urgence et utilisation en continu.

Diminution d'énergie : 35 % à 64 %.

Prise de force dynamique : 533 N à 10 110 N.

Vitesse d'engagement : max. 5 m/s.

Les amortisseurs structuraux ne nécessitent pas d'entretien et sont livrés prêts à monter avec une vis de fixation spéciale.

Environnement : résistant aux microbes, à l'eau de mer, aux produits chimiques, et bonne résistance aux UV et à l'ozone.

Utilisation :

Chariots linéaires et guides linéaires, vérins pneumatiques, dispositifs de manipulation, machines et installations.

Plage de température :

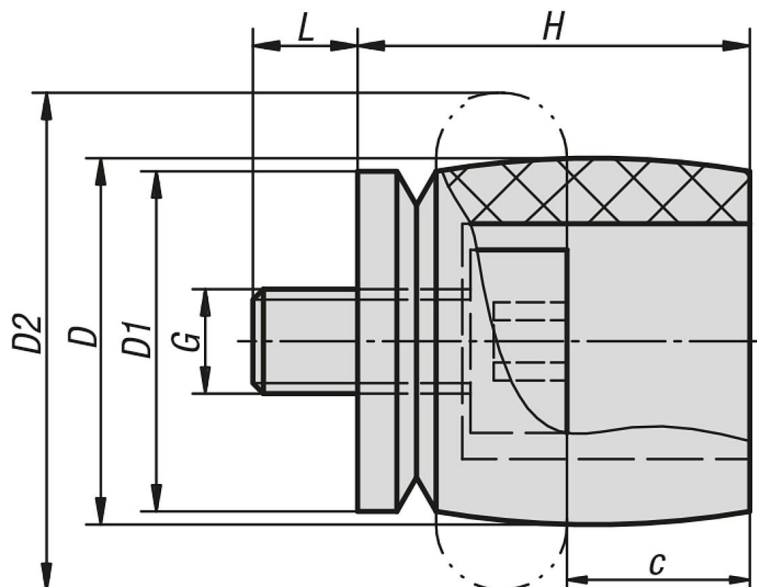
-40 °C jusqu'à +90 °C.

Montage :

Position de montage : indifférente.

Sécuriser la vis de fixation avec de la Loctite.

Dessins



Aperçu des articles

Référence	C Course	D	D1	D2	G	H	L	Énergie maximale absorbée par course N·m sous charge	Énergie maximale absorbée par course N·m en cas d'arrêt d'urgence	Couple de serrage des vis (Nm)
26182-01407	7	14	13	19	M4	15	4	2	3	1,7
26182-01809	9	18	16	24	M5	18	5	4	6	2,3
26182-02010	10	20	19	27	M6	21	6	6	7	6
26182-02615	15	26	25	37	M6	28	6	11,5	15	6
26182-03216	16	32	30	44	M6	32	6	23	26	6
26182-03519	19	35	33	48	M6	36	6	30	36	6
26182-04019	19	40	34	51	M6	38	6	34	42	6
26182-04121	21	41	38	55	M12	41	12	48	63	50
26182-04423	23	44	40	60	M12	45	12	63	72	50
26182-04825	25	48	44	64	M12	49	12	81	91	50
26182-05127	27	51	47	69	M12	52	12	92	114	50
26182-05429	29	54	50	73	M12	55	12	122	158	50
26182-05830	30	58	53	78	M12	59	12	149	154	50
26182-06132	32	61	56	83	M16	62	16	163	169	120
26182-06434	34	64	60	87	M16	66	16	208	254	120

Description de l'article/illustrations du produit



Description

Matière :

Élastomère co-polyester.

Finition :

Dureté du matériau Shore 40D.

Nota :

Conçu pour arrêt d'urgence et utilisation en continu.

Diminution d'énergie : 25 % à 45 %.

Prise de force dynamique : 218 N à 3730 N.

Vitesse d'engagement : max. 5 m/s.

Les amortisseurs structurels ne nécessitent pas d'entretien et sont livrés prêts à monter avec une vis de fixation spéciale.

Environnement : résistant aux microbes, à l'eau de mer, aux produits chimiques, et bonne résistance aux UV et à l'ozone.

Utilisation :

Chariots linéaires et rails de guidage linéaires, vérins pneumatiques, fabrication de meubles, machines et installations.

Plage de température :

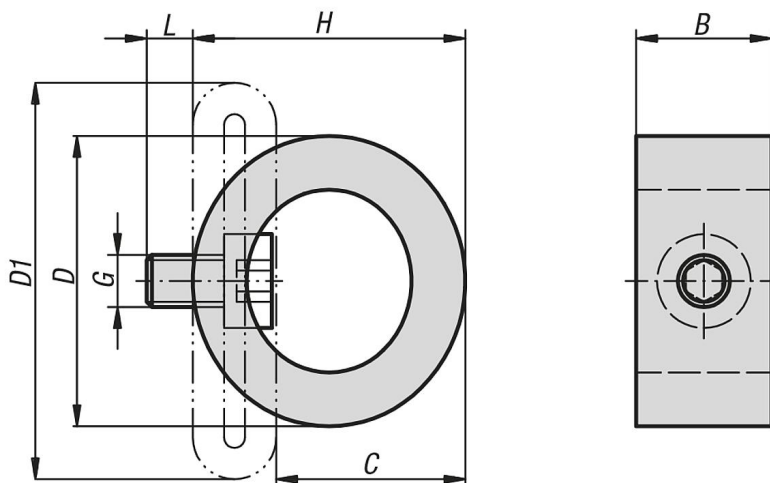
-40 °C jusqu'à +90 °C.

Montage :

Position de montage : indifférente.

Sécuriser la vis de fixation avec de la Loctite.

Dessins



Aperçu des articles

Référence	B	C Course	D	D1	G	H	L	Énergie maximale absorbée par course N·m sous charge	Énergie maximale absorbée par course N·m en cas d'arrêt d'urgence	Couple de serrage des vis (Nm)
26184-02917	13	17	29	38	M5	25	5	1,2	1,8	3
26184-03722	19	22	37	50	M5	32	5	2,3	5,4	3

Aperçu des articles

Référence	B	C Course	D	D1	G	H	L	Énergie maximale absorbée par course N·m sous charge	Énergie maximale absorbée par course N·m en cas d'arrêt d'urgence	Couple de serrage des vis (Nm)
26184-04325	20	25	43	58	M5	37	5	3,5	8,1	3
26184-05035	34	35	50	68	M5	44	5	5,8	8,3	3
26184-06343	43	43	63	87	M5	55	5	12	17	3
26184-06740	46	40	67	88	M5	59	5	23	33	3
26184-07646	46	46	76	102	M6	67	6	34,5	43	6
26184-08350	51	50	83	109	M6	73	6	45	74	6
26184-08550	68	50	85	111	M8	73	8	68	92	20

Description de l'article/illustrations du produit

**Description****Matière :**

Élastomère co-polyester.

Finition :

Dureté du matériau Shore 55D.

Nota :

Conçu pour arrêt d'urgence et utilisation en continu.

Diminution d'énergie : 39 % à 62 %.

Prise de force dynamique : 550 N à 7440 N.

Vitesse d'engagement : max. 5 m/s.

Les amortisseurs structurels ne nécessitent pas d'entretien et sont livrés prêts à monter avec une vis de fixation spéciale.

Environnement : résistant aux microbes, à l'eau de mer, aux produits chimiques, et bonne résistance aux UV et à l'ozone.

Utilisation :

Chariots linéaires et rails de guidage linéaires, vérins pneumatiques, fabrication de meubles, machines et installations.

Plage de température :

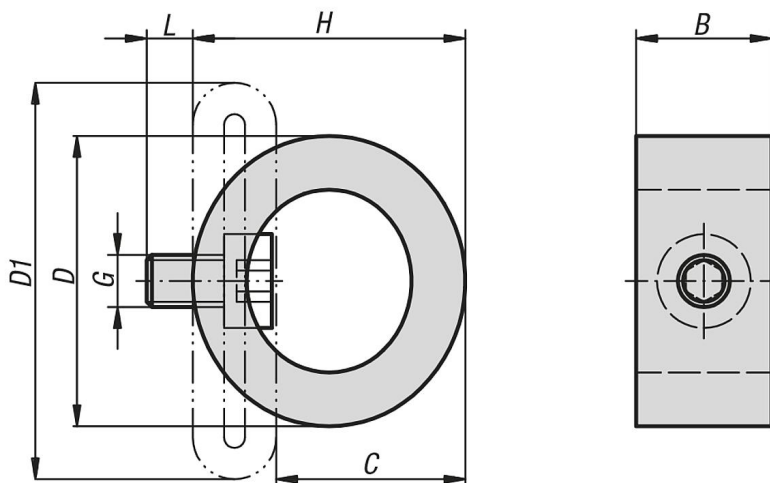
-40 °C jusqu'à +90 °C.

Montage :

Position de montage : indifférente.

Sécuriser la vis de fixation avec de la Loctite.

Dessins



Aperçu des articles

Référence	B	C Course	D	D1	G	H	L	Énergie maximale absorbée par course N·m sous charge	Énergie maximale absorbée par course N·m en cas d'arrêt d'urgence	Couple de serrage des vis (Nm)
26186-03015	13	15	30	38	M5	23	5	2,7	5,7	3
26186-03919	19	19	39	50	M5	30	5	6	18	3

Aperçu des articles

Référence	B	C Course	D	D1	G	H	L	Énergie maximale absorbée par course N·m sous charge	Énergie maximale absorbée par course N·m en cas d'arrêt d'urgence	Couple de serrage des vis (Nm)
26186-04523	20	23	45	58	M5	36	5	8,7	24	3
26186-05232	34	32	52	68	M5	42	5	11,7	20	3
26186-06441	43	41	64	87	M5	53	5	25	46	3
26186-06837	46	37	68	88	M5	56	5	66,5	98	3
26186-07942	46	42	79	102	M6	64	6	81,5	106	6
26186-08645	51	45	86	109	M6	69	6	124	206	6